

## مقایسه عملکرد شبکه‌های عصبی مصنوعی با تحلیل رگرسیون در برآورد تراکم توده‌های جنگلی سراوان گیلان

سیما لطفی اصل<sup>۱</sup>، ایرج حسن‌زاد ناورودی<sup>۲\*</sup> و امان محمد کلتہ<sup>۳</sup>

<sup>۱</sup> دانشجوی دکتری جنگلداری، پردیس دانشگاهی، دانشگاه گیلان، رشت

<sup>۲</sup> دانشیار، گروه جنگلداری، دانشکده منابع طبیعی، دانشگاه گیلان، صومعه‌سرا

<sup>۳</sup> استادیار، گروه مرتع و آبخیزداری، دانشکده منابع طبیعی، دانشگاه گیلان، صومعه‌سرا

(تاریخ دریافت: ۱۳۹۹/۱/۱؛ تاریخ پذیرش: ۱۳۹۹/۱۰/۱۷)

### چکیده

تراکم درختان از مهم‌ترین ویژگی‌های ساختاری جنگل است که در مدیریت، حفاظت و احیای جنگل‌های شمال ایران اهمیت ویژه‌ای دارد. در این پژوهش، تراکم درختان به کمک عوامل مؤثر فیزیوگرافی، خاکی و انسانی با استفاده از شبکه‌های عصبی مصنوعی نگاشت خودسازمانده نظارت شده، پرسپترون چندلایه و مدل رگرسیون خطی چندگانه برآورد و با توجه به معیارهای ارزیابی کارایی آنها مقایسه شد. از این‌رو نخست واحدهای همگن در محیط GIS تهیه شد. نمونه‌برداری به روش سیستماتیک تصادفی با شبکه‌ای به بعد  $200 \times 150$  متر انجام گرفت و در کل ۷۷۹ قطعه نمونه دایره‌ای به مساحت ۱/۰ هکتار پیاده شد. با اندازه‌گیری قطر برابر سینه همه درختان بالای ۷/۵ سانتی‌متر، تراکم درختان برای هر قطعه نمونه و واحدهای همگن محاسبه شد. نتایج نشان داد که شبکه عصبی  $SSOM = 0/9117$   $R^2 = 0/9909$ ،  $RMSE\% = 9/16$ ،  $R^2_{adj} = 0/8760$ ،  $Bias\% = 4/26$  در مقایسه با شبکه عصبی  $MLP = 0/8321$ ،  $R^2 = 0/8420$ ،  $RMSE\% = 10/96$ ،  $R^2_{adj} = 0/6910$ ،  $Bias\% = 15/14$  و مدل رگرسیون خطی چندگانه  $T-test = 0/6812$   $R^2 = 0/6812$ ،  $RMSE\% = 28/71$ ،  $R^2_{adj} = 0/6910$ ،  $Bias\% = 24/26$  دارای دقت بیشتر و خطای کمتر است. برای انتخاب برترین مدل، آزمون T-test انجام گرفت و نتایج نشان داد که شبکه عصبی  $SSOM$  از نوع رقابتی و نظارتی در سطح احتمال ۹۵ درصد، مقادیری مشابه مقادیر واقعی دارد که علت آن به دلیل توابع گوسی است که این ویژگی در شبکه‌های عصبی MLP با توابع سیگموئیدی مشاهده نمی‌شود. از این‌رو، شبکه عصبی  $SSOM$  در برآورد تراکم درختان جنگل‌های شمال ایران، جایگزین مناسبی برای شبکه عصبی پرسپترون چندلایه خواهد بود.

**واژه‌های کلیدی:** پرسپترون چندلایه، تعداد در هکتار، نرون برنده، نگاشت خودسازمانده، یادگیری نظارت شده.

هستند که از اروپای شمالی تا جنگل‌های خزری ادامه دارند (Rastaby et al., 2013). این جنگل‌ها شیب‌های شمالی رشته کوه البرز، از شمال غربی تا شمال شرقی ایران به مساحت حدود ۱/۹ میلیون

### مقدمه

جنگل‌های هیرکانی یا خزری بازمانده دوران سوم زمین‌شناسی<sup>۱</sup> از نظر جغرافیایی زیررده جنگل‌های اروپا سیبری و ادامه جنگل‌های معتدل‌هه اروپایی

چند لایه پیشخور<sup>۳</sup>، شبکه‌های عصبی تابع شعاعی<sup>۴</sup>، ماشین بردار پشتیبان<sup>۵</sup>، یادگیرنده رقمی ساز بردار<sup>۶</sup> و نگاشت خودسازمانده<sup>۷</sup> اشاره کرد (Stumer et al., 2010). نگاشت خودسازمانده متشکل از یک لایه ورودی و یک لایه خروجی، نخستین بار توسط کوهون معرفی شد (Kohonen, 1990) که به طور گسترده در شناسایی الگو<sup>۸</sup>، داده‌کاوی<sup>۹</sup> و خوشبندی<sup>۱۰</sup> و طبقه‌بندی داده‌ها استفاده می‌شود (Liu & Liu, 2011; Yu et al., 2011; Fan et al., 2012). بیشتر پژوهشگران علوم جنگل در ایران در زمینه‌های مختلف با الگوریتم‌های متفاوت پژوهش‌هایی انجام داده‌اند. برای نمونه (Gorzin et al. 2018) از شبکه عصبی MLP و آنالیز رگرسیون به منظور پیش‌بینی و برآورد حجم مقطوعات درختان جنگل آموزشی و پژوهشی خیروド نوشهر استفاده کردند. Ronoud et al. (2019) به مقایسه عملکرد الگوریتم‌های K نزدیک‌ترین همسایه<sup>۱۱</sup>، تخمینگر بردار پشتیبان<sup>۱۲</sup> و جنگل تصادفی<sup>۱۳</sup> در برآورد تراکم درختان راش جنگل‌های خیرود کنار نوشهر پرداختند. Amiri et al. (2019) کاربرد شبکه عصبی پرسپترون چندلایه و مدل رگرسیون لجستیک را در تهیه نقشه تیپ‌های جنگلی طرح جنگلداری زیارت گرگان به کمک مؤلفه‌های فیزیوگرافی و اقلیمی مانند ارتفاع از سطح دریا، شیب، جهت شیب، میانگین بارندگی، تبخیر و دمای سالانه بررسی کردند. Vafaei et al. (2016) تراکم درختان و تاج پوشش جنگل‌های باغان مریوان

هکتار را پوشش داده‌اند. در حدود ۶۰ درصد از جنگل‌های این محدوده به منظور تولید چوب مدیریت می‌شود (Sagheb-Talebi et al., 2004). با توجه به ضرورت مدیریت، حفاظت و احیای این جنگل‌ها، دسترسی به اطلاعات مکانی به موقع از مشخصه‌های ساختاری جنگل لازم و ضروری است (Ediriweera et al., 2016). تراکم درختان (تعداد درخت در هکتار) از مهم‌ترین مشخصه‌های ساختاری جنگل است که تحت تأثیر عوامل طبیعی یا غیرطبیعی قرار دارد (Amiri, 2016). به دلیل پویایی عوامل رویشگاهی، جمع‌آوری اطلاعات بهنگام و به روز از این مشخصه‌ها در سطح وسیع سخت و طاقت‌فرasاست (Fatehi et al., 2015). بسیاری از مدیران و محققان جنگل درصدند که بتوانند مشخصه‌های ساختاری جنگل را فقط با اندازه‌گیری چند متغیر پیش‌بینی کنند. سالیان سال است که آنها از مدل‌های تجربی آماری چون تحلیل رگرسیون خطی چندگانه<sup>۱</sup> به منظور دستیابی به این رابطه‌ها استفاده می‌کنند (Klobucar & Subasic, 2012). در حالی که تصمیم‌گیری در منابع طبیعی اغلب با پیچیدگی‌های فراتر از روش‌های معمول آماری روبرو می‌شود که به رویکردهای نوینی نیاز دارد. با توسعه سیستم‌های خبره در حل مسئله و تصمیم‌گیری مدیریت منابع طبیعی، شبکه‌های عصبی مصنوعی<sup>۲</sup> نخستین بار در اواسط دهه ۱۹۹۰ میلادی، جایگزین روش‌های تحلیل رگرسیون خطی چندگانه در علوم منابع طبیعی و جنگلداری Gimblett & Ball, 1995; Lek et al., 1996; ) شدند (Chatal & Saplıoğlu, 2018). شبکه‌های عصبی مصنوعی، سیستم‌های ریاضی یادگیری غیرخطی هستند که همانند سیستم‌های عصبی بیولوژیکی با استفاده از پردازشگرهایی با توزیع موازی به نام نورون (Haykin, 1999) در حل مسائلی که روش‌های آماری خطی قادر به جوابگویی نیستند، مفید واقع شده‌اند. از متداول‌ترین آنها می‌توان به شبکه عصبی پرسپترون

1. Multiple Linear Regression (MLR)
2. Artificial Neural Network (ANN)
3. feed-forward Multi Layer Perceptron (MLP)
4. Radial Basis Functions (RBF)
5. Support Vector Machine (SVM)
6. Learning Vector Quantization (LVQ)
7. Self-Organizing Map (SOM)
8. Pattern Recognition
9. Data Mining
10. Clustering
11. K-Nearest Neighbors (k-NN)
12. Support Vector Regression
13. Random Forest (RF)

SOM به منظور منطقه‌بندی و برآورد مقدار بارندگی ماهانه در شمال ایران استفاده کردند. آنها از شبکه عصبی SOM برای خوشبندی مناطق و از شبکه عصبی SSOM به منظور برآورد مقدار بارندگی ماهانه استفاده و عملکرد نگاشت خودسازمانده را با مدل پرسپترون چندلایه پیشرو مقایسه کردند و نتیجه گرفتند که در نبود منطقه‌بندی، مدل پرسپترون چندلایه پیشرو عملکرد بهتری از نگاشت خودسازمانده دارد و در صورت منطقه‌بندی، نگاشت خودسازمانده بهتر از پرسپترون چندلایه عمل می‌کند. درباره کاربرد شبکه عصبی SSOM در علوم جنگل در داخل و خارج ایران پژوهشی انجام نگرفته است، بنابراین تحقیق در این زمینه به شدت ضرورت دارد و نتیجه این تحقیق می‌تواند کارایی این روش را نشان دهد و راه را برای معرفی و اجرای پژوهش‌های بیشتر درباره کارایی این روش در زمینه‌های مختلف هموار کند. هدف این پژوهش، مقایسه عملکرد شبکه عصبی SSOM با شبکه عصبی MLP و رگرسیون خطی چندگانه با توجه به معیارهای ارزیابی در برآورد تراکم درختان جنگل‌های سراوان رشت (سری دو کچا) و نیز معرفی مدل(های) کارامد برای برآورد تراکم درختان در منطقه پژوهش با استفاده از عوامل رویشگاهی است.

### مواد و روش‌ها

#### منطقه پژوهش

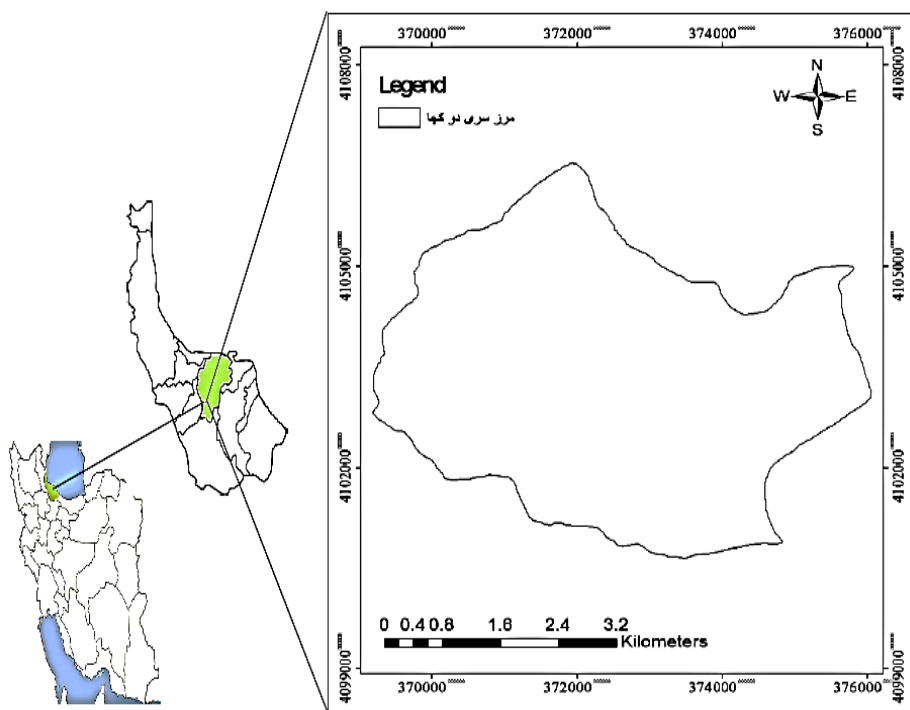
جنگل سراوان در جنوب شهر رشت در استان گیلان، در محدوده طرح جنگلداری سری یک و دو کچا قرار دارد. پژوهش حاضر در سری دو کچا به مساحت ۲۳۹۹ هکتار صورت پذیرفت. این منطقه از نظر مختصات جغرافیایی در  $24^{\circ} 32' 49''$  تا  $29^{\circ} 35' 49''$  طول شرقی و  $30^{\circ} 02' 37''$  و  $37^{\circ} 05' 42''$  عرض شمالی واقع شده که از شمال به سری یک کچا، از جنوب به سری‌های سه و چهار سراوان، از غرب به سری مبارک آباد (حوزه ۱۷) و از

را با استفاده از شبکه عصبی مصنوعی و رگرسیون خطی چندگانه برآورد کردند. آنها تعداد درخت در هکتار و تاج‌پوشش را متغیر وابسته و اطلاعات خاک‌شناسی، اطلاعات اقلیمی، مشخصه‌های اولیه و ثانویه توپوگرافی و شاخص NDVI را متغیر مستقل در نظر گرفتند. نتایج پژوهش آنها نشان داد که شبکه عصبی مصنوعی در مقایسه با رگرسیون خطی چندگانه، در برآورد تعداد درختان در هکتار و تاج پوشش دقت بیشتری دارد. در حالت معمول SOM نوعی الگوی یادگیری بدون نظارت<sup>۱</sup> است، هیچ راه حل راه حل یا هدفی داده نمی‌شود و شبکه، هوشمندانه با شناسایی الگوهای متفاوت قادر به یادگیری و خوشبندی داده‌ها از فضای پیوسته چندبعدی به فضای گسسته با بعد کم (به‌طور معمول دو بعدی) است (Kohonen, 2001; Kalteh et al., 2008) در این زمینه (Kalteh et al. 2008) با مرور کاربردهای شبکه عصبی SOM در منابع آب، بیان کردند که شبکه عصبی SOM در تجزیه و تحلیل، خوشبندی و مدل‌سازی داده‌های مختلف از توان زیادی برخوردار است. نگاشت خودسازمانده نظارت شده، مدلی توسعه‌یافته‌تر از SOM است و فقط از نظر ابعاد وزن و الگوریتم تخمین با شبکه عصبی SOM تفاوت دارد. همان‌گونه که در شبکه عصبی SOM، وزن‌ها هم‌بعد با داده‌های ورودی هستند، در شبکه عصبی SOM وزن‌ها هم‌بعد با متغیر هدف هستند. در شبکه عصبی SOM رقابت بر سر داده‌های ورودی است، در حالی که در شبکه عصبی SSOM رقابت به منظور تخمین و کاهش خطای پیش‌بین صورت می‌پذیرد (Keller et al., 2018b) (Taknoon Keller et al., 2018a) در زمینه برآورد مشخصه‌های کیفیت آب و Keller et al. (2018b) برای برآورد رطوبت خاک از شبکه عصبی SSOM استفاده کردند. Kalteh & Berndtsson (2007) از شبکه عصبی

- 
1. Unsupervised Learning
  2. Supervised Self Organizing Map (SSOM)

(*Parrotia persica* (DC) C.A.M.) و خرمندی (*Diospyros lotus* L.) تشکیل شده است. سری مذکور تا قبل از سال ۱۳۷۲ فاقد هر گونه طرح جنگلداری بود و بیشتر، بهره‌برداری سنتی توسط ساکنان بومی و دامداران منطقه به‌منظور تهیه چوب سوخت، تهیه زغال، ساختمان‌سازی و غیره صورت می‌گرفت تا اینکه در سال ۱۳۷۲ طرح سری دو کچا توسط کارشناسان فنی اداره منابع طبیعی استان گیلان تهیه و به شرکت تعاونی قیصر کوه واگذار شد (شکل ۱).

شرق به طرح جنگلداری سری یک کچا منتهی شده و در سیستم UTM در زون ۴۰ قرار گرفته است. از نظر اقلیمی، منطقه دارای آب‌وهوا مرطوب با متوسط بارندگی سالانه  $1255/7$  میلی‌متر و متوسط دمای سالانه  $16$  درجه سانتی‌گراد است. منطقه اغلب جنگلی با تیپ خاک قهوه‌ای جنگلی، راندزین دکربناته، قهوه‌ای اسیدی و قهوه‌ای شسته‌شده است و از گونه‌های درختی چون راش (*Fagus orientalis* Lipsky)، ممرز (*Carpinus betulus* L.), توسکای بیلاقی (*Alnus subcordata* C.A.M) افرا پلت (*Acer velutinum* Boiss.)



شکل ۱ - موقعیت منطقه پژوهش در ایران و استان گیلان

در این پژوهش برای تهیه نقشه ارتفاع از سطح دریا، شب و جهت جغرافیایی از نقشه‌های توپوگرافی با مقیاس  $1:25000$  با منحنی میزان  $50$  متر استفاده شد. نقشه طبقات ارتفاعی در چهار طبقه  $150-200$ ،  $200-400$ ،  $400-600$  و  $600-850$  متر، نقشه طبقات شبی در سه طبقه  $15-20$ ،  $20-30$  و  $30-45$  درج شده است.

**شیوه اجرای پژوهش**  
- تهیه نقشه یگان زیست‌محیطی به‌دلیل تغییرات وسیع عوامل مؤثر بر تراکم درختان و نمونه‌برداری‌های دقیق از همه شرایط منطقه، نقشه واحدهای همگن در محیط Arc Map 10.3.1 با تلفیق لایه‌های رقومی تهیه شد.

مشخصه‌های خاک یعنی سنگ مادر، بافت و عمق خاک به چهار زیر واحد اراضی تقسیم و با کدهای (۲-۱)، (۲-۲-۱)، (۲-۲-۲) و (۳-۲-۳) نشان داده شده است (جدول ۱) (Forests, Rangelands & Watershed Management Organization, 2008).

درصد و نقشه جهت‌های اصلی از روی مدل رقومی ارتفاع تهیه شد. با روی هم گذاری لایه‌های رقومی، نقشه واحد یا یگان شکل زمین به دست آمد. نقشه تیپ خاک منطقه براساس نقشه‌های ۱:۲۵۰۰۰ تهیه شده به سفارش سازمان جنگل‌ها و مراتع کشور زمین مرتع و رقومی شد که برپایه مهم‌ترین

جدول ۱- شرح زیر واحدهای اراضی در منطقه پژوهش

کد	تیپ خاک	رس (درصد)	سیلت (درصد)	شن (درصد)	عمق خاک (سانتی‌متر)	بافت خاک	pH
۱-۲-۲	راندزین دکربناته	۳۳-۲۱	۳۷-۳۱	۴۲-۳۶	۵۵-۵۰	لومی متوسط تا کمی رسی لومی سنگین	۶/۷-۸/۲
۲-۱-۲	قهوہ‌ای اسیدی	۳۵-۲۵	۴۰-۳۳	۴۲-۲۲	۷۵-۵۵	کمی رسی لومی سنگین تا لومی	۵/۵-۷/۹
۲-۲-۲	قهوہ‌ای جنگلی	۶۰-۴۶	۴۰-۳۲	۱۴-۸	۹۰-۷۵	رسی سنگین	۷/۷-۳/۴
۳-۲-۳	قهوہ‌ای شسته شده	۴۹-۲۸	۳۸-۲۱	۳۴-۲۸	۱۰۰-۹۰	رسی سنگین	۵/۶-۶/۵

برابر سینه درختان بیشتر از ۷/۵ سانتی‌متری به تفکیک گونه در طبقات قطری مختلف اندازه‌گیری شد و محاسبات لازم براساس روابط (۱ تا ۵) انجام گرفت.

$$\bar{x} = \frac{\sum x_i}{n} \quad \text{رابطه ۱}$$

$$s_x = \sqrt{\frac{\sum x_i^2 - (\sum x_i)^2}{n-1}} \quad \text{رابطه ۲}$$

$$s_{\bar{x}} = \pm \frac{s_x}{\sqrt{n}} \quad \text{رابطه ۳}$$

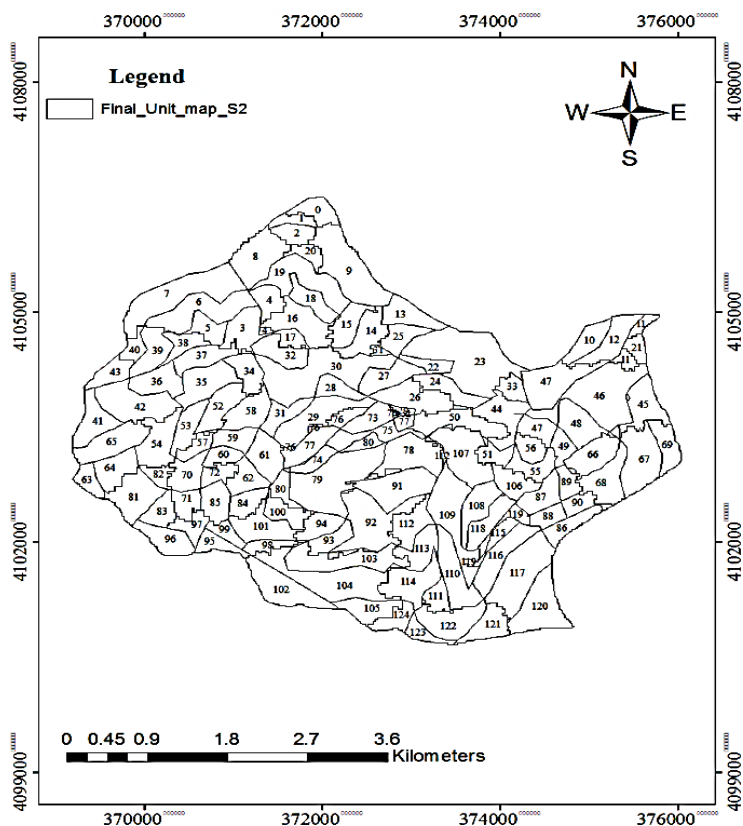
$$E = \pm t \times s_{\bar{x}} \quad \text{رابطه ۴}$$

$$c.v \% = \frac{s_x}{\bar{x}} \times 100 \quad \text{رابطه ۵}$$

در رابطه‌های ۱ تا ۵ میانگین مشخصه مورد بررسی،  $x_i$  مشخصه مورد بررسی،  $n$  تعداد قطعه نمونه،  $s_x$  انحراف از معیار،  $s_{\bar{x}}$  اشتباه از معیار،  $E$  خطای آماربرداری و  $c.v \%$  درصد ضریب تغییرات است.

در گام بعدی نقشه یگان شکل زمین با نقشه رستری خاک در محیط GIS تلفیق شد و نقشه واحد شکل زمین پایه یک به دست آمد. همین مراحل برای نقشه رستری فاصله از جاده و فاصله از آبراهه تکرار شد و در نهایت نقشه واحد یا یگان شکل زیست‌محیطی نهایی با ۱۲۴ واحد همگن به دست آمد که بیشترین سطح منطقه را واحد همگن (۲۳) به مساحت ۶۶ هکتار تشکیل داده است (شکل ۲).

به منظور تعیین تعداد قطعه نمونه به منظور دستیابی به حداقل دقت و کمترین خطای آماربرداری از رابطه  $t^2 \times \% Sx^2 / \% E^2 = n$  استفاده شد که در آن  $n$  تعداد قطعه نمونه،  $Sx \%$  درصد انحراف معیار و  $E \%$  درصد دقت آماربرداری است و  $t$  براساس تعداد قطعه نمونه و سطح احتمال از جدول t-student به دست آمد. بدین ترتیب نمونه‌برداری به روش تصادفی سیستماتیک با ابعاد شبکه  $150 \times 200$  متر در قطعه نمونه‌های دایره‌ای به مساحت ۰/۱ هکتار باشد آماربرداری  $3/3$  درصد پیاده شد. در کل ۷۷۹ قطعه نمونه به دست آمد در هر قطعه نمونه قطر



شکل ۲- نقشهٔ نهایی زیست‌محیطی با ۱۲۴ واحد همگن

فاصلهٔ اقلیدسی (d) است (رابطهٔ ۶)  
. (Kalteh & Hjorth, 2008)

$$d_j = \left[ \sum_{i=1}^m (x_i(t) - w_{ij})^2 \right]^{0.5} \quad \text{رابطهٔ ۶}$$

$$i=1, \dots, m ; j=1, \dots, n$$

در رابطهٔ ۶، m تعداد متغیرهای ورودی، n تعداد نورون‌ها در لایهٔ کوهون،  $w_{ij}$  نشان‌دهندهٔ بردار وزن اتصالی بین بردار ورودی  $i$  و نورون  $j$  در لایهٔ کوهون است.

بردار وزن BMU و تپولوژی نورون‌های همسایه به‌گونه‌ای به‌روزرسانی می‌شوند که الگوی ورودی را دوباره تولید کنند. متدائل‌ترین تابع همسایه استفاده‌شده تابع گوسی است (رابطهٔ ۷) (Kalteh et al., 2007).

$$N_{j^*j}(t) = e^{-\frac{\|r_{j^*}-r_j\|^2}{2\delta^2(t)}} \quad \text{رابطهٔ ۷}$$

#### -شبکهٔ عصبی نگاشت خودسازمانده

شبکهٔ عصبی SOM متشکل از یک لایهٔ ورودی و یک لایهٔ خروجی است که بردار وزن نورون‌های لایهٔ ورودی به همهٔ نورون‌های لایهٔ خروجی (لایهٔ رقابتی یا کوهون) متصل است ( $w_{ij}$ ). ابتدای آموزش، بردار وزن (بردار کد کتاب یا بردار مرجع) با یک مقدار اولیه تصادفی تنظیم می‌شود. SOM با استفاده از روش یادگیری رقابتی بدون ناظر یا نگاشت خودسازمانده، الگوی ورودی ماتریس داده‌ها (t) X را با هر یک از بردارهای وزن نورون SOM مقایسه می‌کند. نورونی که کمترین فاصله (d) را با الگوی ورودی داشته باشد، به عنوان نورون برنده، بهترین واحد تطبیق<sup>۱</sup> یا winner takes all شناخته می‌شود. رایج‌ترین معیار مورد استفاده برای پیدا کردن نورون برنده،

1. Best Matching Unit (BMU)

خروجی در تکرار  $t$  است.

### -شبکه عصبی نگاشت خودسازمانده ناظارت شده<sup>۱</sup> (SSOM)

مرحله آموزش شبکه عصبی SSOM (مقداردهی اولیه به صورت تصادفی، انتخاب نورون برنده با متغیرهای ورودی، محاسبه تابع همسایگی و نرخ یادگیری) مشابه شبکه عصبی SOM است و فقط در مرحله به روزرسانی وزن‌ها به جای متغیرهای ورودی از متغیر خروجی، وابسته یا هدف استفاده می‌کند (Riese et al., 2020) (شکل ۳). در این پژوهش برای MATLAB SOM ارائه شده توسط دانشگاه صنعتی هلسینکی استفاده شد (Vesanto et al., 2000).

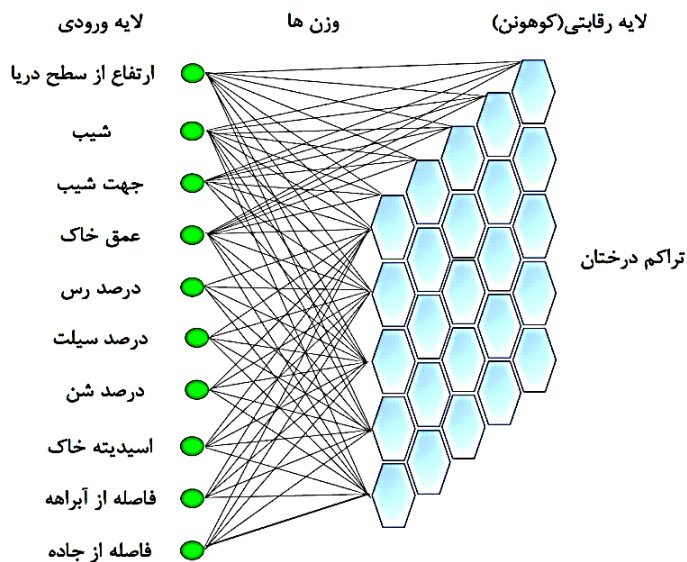
در رابطه ۷،  $N_{j^*j}(t)$  تابع همسایگی (گوسی) نورون برنده  $j$  در تکرار  $t$   $\delta^2$  شعاع همسایگی در تکرار  $t$   $\|r_j - r_{j^*}\|$  فاصله بین نورون برنده و نورون همسایه  $j$  است.

در نهایت بردار وزن نورون برنده و همسایگان منتخب آن با توجه به فاصله آنها از نورون برنده به روزرسانی شده و وزن‌های جدید با استفاده از رابطه ۸ محاسبه می‌شود (Demirci et al., 2013).

### رابطه ۸

$$W_{ij}(t+1) = w_{ij}(t) + \eta(t) N_{j^*j}(t) (x_i(t) - w_{ij}(t))$$

که در آن  $(t)$  نرخ یادگیری در تکرار  $t$   $W_{ij}$  تابع همسایگی نورون برنده  $j$  در تکرار  $t$  وزن بین نورون  $i$  در لایه ورودی و نورون  $j$  در لایه



شکل ۳- نمونه‌ای از ساختار شبکه عصبی مصنوعی SSOM (۵×۵)

متغیر خروجی است. همچنین یک نورون بایاس در هر یک از لایه‌های پنهان و خروجی وجود دارد. شبکه عصبی پس انتشار خطأ<sup>۲</sup> متداول ترین الگوریتم یادگیری شبکه عصبی پیشخور چندلایه است که

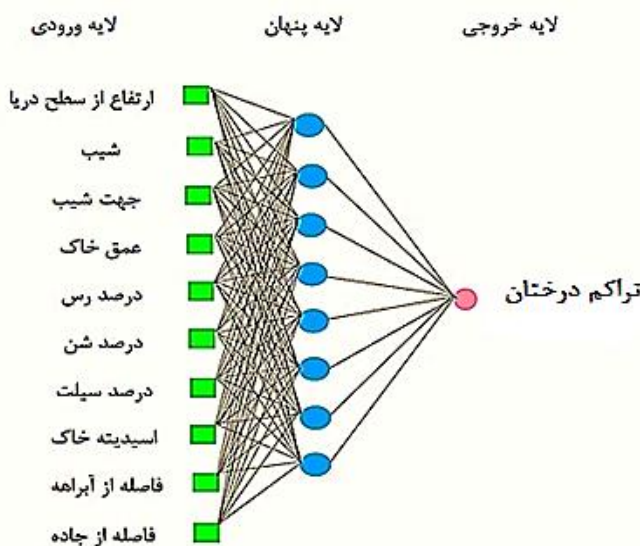
### - شبکه عصبی پرسپترون چندلایه

این شبکه متشكل از یک لایه ورودی است که در آن تعداد نورون‌ها برابر با تعداد متغیرهای ورودی است، یک یا چند لایه پنهان که در آن تعداد نورون‌ها به طور معمول با روش سعی و خطأ انتخاب می‌شود و یک لایه خروجی که تعداد نورون‌های آن برابر با تعداد

1. Supervised Self Organizing Map (SSOM)  
2. Back Propagation (BP)

محاسبه مقدار خطأ، وزن‌ها و انحراف‌ها از طریق الگوریتم پسانشlar خطأ به روزرسانی و تازمان همگرایی تکرار می‌شود (شکل ۴) (Dawson & Wilby, 2001).

الگوهای ورودی به صورت لایه‌هایی از نورون‌ها وارد شبکه عصبی می‌شوند. مسیر حرکت همواره رو به جلو، یعنی از لایه ورودی به لایه خروجی است. با مقایسه خروجی شبکه عصبی و خروجی واقعی، مقدار خطأ توسط تابع خطأ محاسبه می‌شود. پس از



شکل ۴- نمونه‌ای از ساختار شبکه عصبی مصنوعی MLP

فیزیوگرافی (ارتفاع از سطح دریا، شیب، جهت و فاصله از آبراهه)، خصوصیات فیزیکی و شیمیایی خاک (عمق خاک، درصد رس، درصد شن، درصد سیلت و مقدار اسیدیتۀ خاک) و عوامل انسانی (فاصله از جاده) به عنوان متغیرهای ورودی و تراکم درختان به عنوان متغیر خروجی در نظر گرفته شدند. برای افزایش سرعت و دقیقت فرایندهای شبکه عصبی، داده‌ها طبق رابطه ۹ نرمال شدند و بین بازۀ صفر و یک قرار گرفتند (Kalteh & Hjorth, 2008).

$$Z = \frac{X_i - X_{\min}}{X_{\max} - X_{\min}} \quad \text{رابطه ۹}$$

در رابطه ۹،  $Z$  داده نرمال شده،  $X_i$  داده مورد استفاده و  $X_{\max}$  و  $X_{\min}$  به ترتیب حداقل و حداقل داده‌ها در هر یک از متغیرهای است. پس از

#### -رگرسیون خطی چندگانه

برای ایجاد رابطه خطی بین چند متغیر مستقل (متغیر پیشگو یا پیش‌بین) با یک متغیر وابسته از رگرسیون خطی چندگانه استفاده می‌شود که برای محاسبه آن روش‌هایی وجود دارد. یکی از این روش‌ها، رگرسیون گام‌به‌گام است. در هر گام، یک متغیر به مجموعه متغیرهای توضیحی به‌طور خودکار اضافه یا از آن کم می‌شود. این کار تا زمانی ادامه می‌یابد که معنی‌داری متغیرها به ۹۵ درصد برسد (Rawlings et al., 1932).

**-مدل‌سازی تراکم درختان با استفاده از شبکه‌های عصبی مصنوعی**  
برای مدل‌سازی تراکم درختان با استفاده از شبکه‌های عصبی مصنوعی SSOM و MLP، عوامل

بیشتری دارند در صورتی که ضریب تعیین فرض می‌کند که همه متغیرهای مستقل برای توضیح تغییرات متغیر وابسته لازم و ضروری است از این‌رو، ضریب تبیین معیار مناسبی برای تبیین میزان تاثیر متغیر مستقل بر متغیر وابسته نیست. هرچه اختلاف بین مقادیر  $R^2$  و  $R_{adj}^2$  کمتر باشد، بیانگر این است که متغیرهای مستقل به درستی انتخاب شده‌اند (رابطه (Cameron & Windmeijer, 1997) ۱۱)

$$R_{adj}^2 = 1 - \frac{(n-1) \sum_{i=1}^n (p_i - o_i)^2}{(n-p) \sum_{i=1}^n (p_i - \bar{p})^2} \quad \text{رابطه ۱۱}$$

#### مجذور میانگین مربعات خطأ

مجذور میانگین مربعات خطأ دقت مدل را بر اساس تفاضل بین مقادیر واقعی و مقادیر برآورده شده ارزیابی می‌کند و هرچه مقدار آن کمتر و صفر به نزدیک‌تر باشد، نشان‌دهنده عملکرد بهتر مدل است (Hyndman & Koehler, 2006) (رابطه ۱۲).

$$RMSE = \left[ \frac{\sum_{i=1}^n (p_i - o_i)^2}{n} \right]^{0.5} \quad \text{رابطه ۱۲}$$

#### درصد مجذور میانگین مربعات خطأ

درصد مجذور میانگین مربعات خطأ از تقسیم مجذور میانگین مربعات خطأ بر مقادیر متوسط واقعی و ضرب آن در عدد ۱۰۰، بر حسب درصد به دست می‌آید (رابطه ۱۳).

$$RMSE\% = \frac{RMSE}{\bar{p}} \times 100 \quad \text{رابطه ۱۳}$$

#### میانگین قدر مطلق خطأ

مقدار میانگین قدر مطلق خطأ از صفر تا بی‌نهایت تغییر می‌کند هر چه مقدار میانگین قدر مطلق خطأ کمتر و به صفر نزدیک‌تر باشد، نشان‌دهنده عملکرد بهتر مدل است (رابطه (Pontius et al., 2008) ۱۴).

$$MAE = \frac{\sum_{i=1}^n |o_i - p_i|}{n} \quad \text{رابطه ۱۴}$$

نرمال‌سازی، ۷۰ درصد نمونه‌ها به مجموعه داده‌های آموزشی (۸۷ واحد همگن) و ۳۰ درصد باقی‌مانده به داده‌های اعتبارسنجی (۳۷ واحد همگن) اختصاص یافت (Maier et al., 2010).

#### -مدل‌سازی تراکم درختان با استفاده از روش رگرسیون خطی چندگانه (گام‌به‌گام)

مدل‌سازی تراکم درختان با استفاده از روش MLR در محیط نرم‌افزار IBM SPSS 22 و به کمک متغیرهای فیزیوگرافی، خاکی و انسانی (متغیرهای مستقل) صورت پذیرفت که پس از نرمال‌سازی نمونه‌ها، ۷۰ درصد آنها (۸۷ واحد همگن) به‌منظور مدل‌سازی و ۳۰ درصد باقی‌مانده (۳۷ واحد همگن) برای اعتبارسنجی استفاده شد.

#### -معیارهای ارزیابی

برای ارزیابی عملکرد مدل‌ها از ضریب تعیین ( $R^2$ )، ضریب تعیین تعدیل شده ( $R_{adj}^2$ )، مجذور میانگین مربعات خطأ (RMSE)، درصد مجذور میانگین مربعات خطأ (RMSE%)، میانگین قدر مطلق خطأ (MAE)، مقدار اریبی (Bias) و درصد اریبی (Bias%) استفاده شد.

#### ضریب تعیین

ضریب تعیین نشان‌دهنده مقدار همبستگی بین مقادیر برآورده توسط مدل و مقادیر واقعی است. مقدار این ضریب همواره بین صفر و یک قرار دارد و عدد یک بیانگر این است که مدل داده‌ها را به خوبی برازش کرده است (رابطه (Cameron & Windmeijer, 1997) ۱۰).

$$R^2 = 1 - \frac{\sum_{i=1}^n (p_i - o_i)^2}{\sum_{i=1}^n (p_i - \bar{p})^2} \quad \text{رابطه ۱۰}$$

#### ضریب تعیین تعدیل شده

ضریب تعیین تعدیل شده، تنها متغیرهایی وارد مدل می‌شوند که واقعاً در توضیح متغیر وابسته سهم

از این تعداد، ۲۲/۲۳ درصد آن متعلق به طبقه قطری ۱۵ سانتی‌متر و ۰/۰۳ درصد متعلق به طبقه قطری ۱۱۵ سانتی‌متر است (جدول ۲).

آماره‌های میانگین، انحراف معیار، اشتباہ معیار، درصد اشتباہ آماربرداری و درصد ضریب تغییرات برای مشخصه مورد اندازه‌گیری در روش نمونه‌برداری محاسبه شد. نتایج نشان داد که متوسط تراکم درختان با ۴/۴ درصد اشتباہ آماربرداری برابر ۲۸۳/۷۷ است. نتایج دیگر آماره‌ها در جدول ۳ نمایان است.

مطابق منحنی پراکنش درختان در طبقات قطری مختلف (شکل ۵)، جنگل تحت بررسی دارای ساختار ناهمسال و منظم است که با افزایش طبقات قطری از تراکم درختان کاسته می‌شود.

شکل ۶ وضعیت واحدهای همگن و متوسط تراکم درختان در واحدهای همگن مختلف را نشان می‌دهد. همان‌طور که نمایان است در بیشتر واحدها تراکم درختان بین ۲۰۰ تا ۳۰۰ عدد در هکتار است که بیشترین تراکم درختان (۶۸۴ عدد در هکتار) متعلق به واحد همگن شماره (۲۳) با ویژگی درصد شیب ۴۰۰-۳۰، جهت شمالی، ارتفاع از سطح دریا ۳۰-۲۰ متر، تیپ خاک قهوه‌ای جنگلی، بافت خاک رسی سنگین، pH خاک قلیایی و حداقل عمق خاک ۷۵ سانتی‌متر است که در فاصله ۲۰۰-۷۰۰ متری آبراهه‌ها و ۴۰۰-۶۰۰ متری جاده‌ها قرار دارند در مقابل کمترین تراکم درختان (۱۱۰ عدد در هکتار) مربوط به واحد همگن شماره (۸۰) با ویژگی درصد شیب ۲۰-۱۰، جهت جنوبی، ارتفاع از سطح دریا ۲۰۰-۱۰۰ متر، تیپ خاک راندزین دکربناته، بافت خاک لومی متوسط تا کمی لومی رس سنگین، pH خاک اسیدی، حداقل عمق خاک ۵۰ سانتی‌متر است که در فاصله ۱۳۰۰-۷۰۰ متری آبراهه‌ها و ۲۰۰-۰ متری جاده‌ها واقع شده‌اند.

### مقدار اریب

مقدار اریب ابزار و معیاری برای نشان دادن این است که مقادیر برآورده تا چه اندازه‌ای به مقادیر واقعی نزدیک‌تر هستند. مقدار اریبی زمانی صفر است که مقادیر متوسط برآورده حاصل با مقادیر واقعی تقریباً برابر شود (رابطه ۱۵) (Hardy, 2003).

$$\text{Bias} = \frac{\sum_{i=1}^n (o_i - p_i)^2}{n} \quad \text{رابطه ۱۵}$$

### درصد اریب

درصد اریب از تقسیم مقادیر اریب بر مقادیر متوسط واقعی و ضرب آن در عدد ۱۰۰، عدد نهایی برحسب درصد به دست می‌آید (رابطه ۱۶).

$$\text{Bias\%} = \frac{\text{Bias}}{\bar{p}} \times 100 \quad \text{رابطه ۱۶}$$

در رابطه‌های فوق  $p_i$  مقادیر واقعی،  $\bar{p}$  مقادیر متوسط واقعی،  $o_i$  مقادیر برآورده،  $\bar{o}$  مقادیر متوسط برآورده،  $n$  تعداد داده‌ها و  $p$  تعداد مشخصه‌های مدل است.

### نتایج

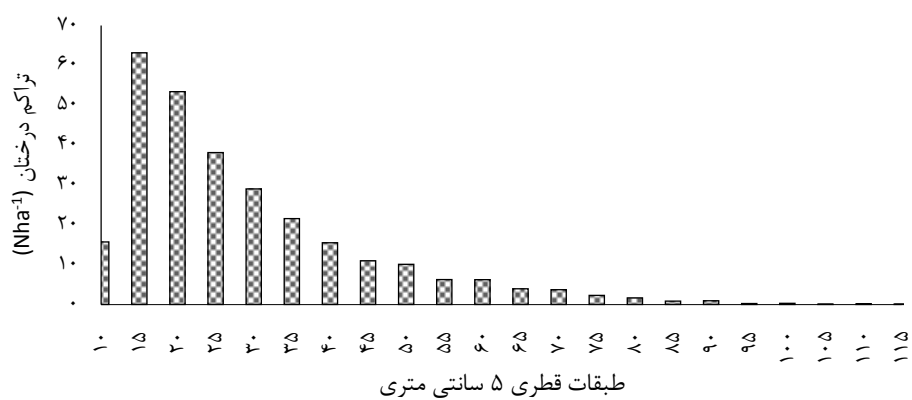
- آمار توصیفی مشخصه تراکم درختان نتایج آماربرداری در ۷۷۹ قطعه نمونه نشان داد که منطقه پژوهش در کل از ۲۲۱۰۶ اصله درخت با گونه‌های مختلف چون راش (*Fagus orientalis*), خرمندی (*Carpinus betulus* L.), ممرز (*Lipksy Parrotia persica*), انجیلی (*Diospyros lotus* L) *Alnus subcordata* (DC), توسکا (C.A.M. C.A.M.), لیلکی (*Gleditsia caspica* Desf.), افرا (*Ulmus*) Boiss., پلت (*Acer velutinum*), ملچ (*Quercus glabra* Huds.), بلوط بلندمازو (*Pinus taeda* L.) کاج (*castaneifolia* C.A.M.) و ون (*Fraxinus excelsior* L.) تشکیل شده است که

جدول ۲- پرائنس تراکم درختان در طبقات قطری ۵ سانتی‌متری در منطقه پژوهش

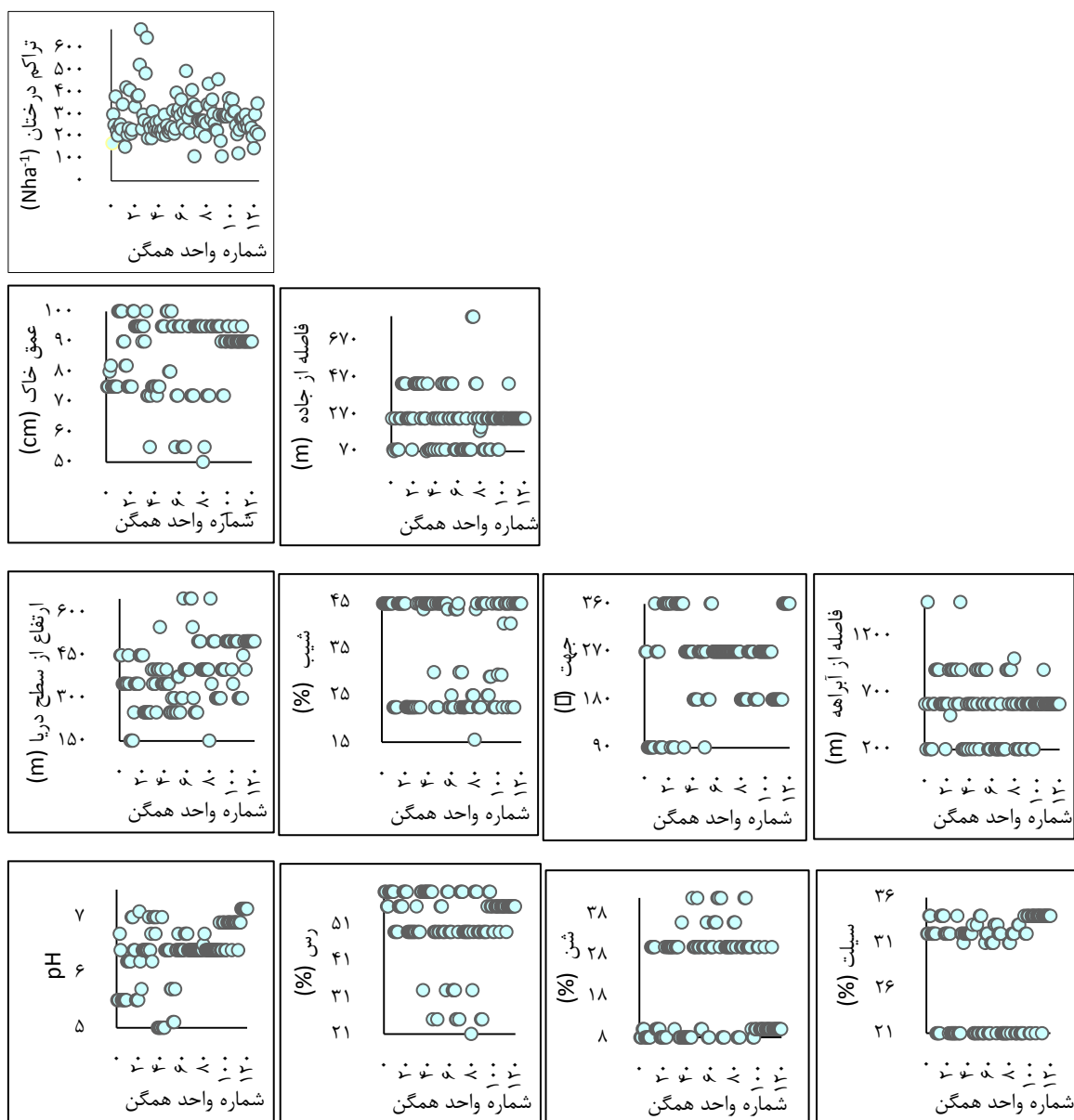
درصد فراوانی	تراکم درختان	جمع	نام گونه												طبقات قطری
			ون	کاج	بلند مازو	ملج	افرا	لیکی	توسکا	انجیلی	خرمندی	مرمز	راش	راش	
۵/۵۲	۱۵/۶۷	۱۲۲۱	۹	۰	۰	۱	۲	۹	۶۲	۳۲۵	۲۱۰	۹۷	۵۰۶	۱۰	
۲۲/۲۳	۶۳/۱۰	۴۹۱۶	۱۹	۱	۰	۶	۶	۲۵	۲۴۷	۱۱۳۳	۱۰۸۸	۵۰۶	۱۸۸۵	۱۵	
۱۸/۸۰	۵۳/۳۶	۴۱۵۷	۲۱	۰	۳	۸	۶	۲۶	۲۹۱	۷۳۷	۹۳۳	۶۰۵	۱۵۲۷	۲۰	
۱۳/۴۲	۳۸/۰۸	۲۹۶۷	۳۱	۰	۱	۶	۶	۲۶	۳۲۰	۳۴۳	۵۵۸	۵۳۴	۱۱۴۲	۲۵	
۱۰/۲۰	۲۸/۹۷	۲۲۵۷	۲۲	۰	۲	۴	۵	۲۶	۳۷۰	۱۷۸	۲۸۰	۵۴۳	۸۲۷	۳۰	
۷/۵۸	۲۱/۰۲	۱۶۷۷	۱۴	۲	۲	۳	۲	۱۵	۳۲۰	۹۹	۱۳۶	۴۵۸	۶۱۶	۳۵	
۵/۴۵	۱۵/۴۶	۱۲۰۵	۱۷	۱	۲	۴	۶	۵	۳۰۴	۵۴	۹۲	۲۹۲	۴۲۸	۴۰	
۳/۸۵	۱۰/۹۴	۸۵۳	۱۱	۲	۳	۱	۳	۵	۲۲۵	۴۱	۴۷	۱۹۴	۳۲۱	۴۵	
۳/۵۴	۱۰/۰۶	۷۸۴	۹	۰	۳	۱	۱	۷	۲۰۹	۳۲	۲۵	۱۵۷	۳۴۰	۵۰	
۲/۱۹	۶/۲۳	۴۸۶	۳	۱	۴	۰	۳	۳	۱۴۹	۱۵	۱۰	۹۹	۱۹۹	۵۵	
۲/۱۸	۶/۲۱	۴۸۴	۲	۲	۳	۰	۱	۱	۱۲۶	۱۷	۵	۱۱۴	۲۱۳	۶۰	
۱/۳۸	۳/۹۲	۳۰۶	۶	۰	۱	۰	۱	۳	۸۵	۷	۳	۷۱	۱۲۹	۶۵	
۱/۳۰	۳/۶۹	۲۸۸	۲	۰	۰	۰	۱	۱	۶۷	۱۰	۱	۸۲	۱۲۴	۷۰	
۰/۸	۲/۲۷	۱۷۷	۰	۰	۱	۰	۰	۱	۵۳	۵	۰	۴۵	۷۲	۷۵	
۰/۵۷	۱/۶۳	۱۲۷	۰	۰	۰	۰	۱	۰	۲۸	۵	۱	۴۰	۵۲	۸۰	
۰/۲۹	۰/۸۳	۶۵	۰	۰	۰	۰	۰	۰	۱۳	۱	۰	۱۵	۳۶	۸۵	
۰/۳۲	۰/۹۲	۷۲	۰	۰	۰	۰	۰	۰	۱۶	۲	۰	۲۲	۳۲	۹۰	
۰/۰۸	۰/۲۳	۱۸	۰	۰	۰	۰	۱	۰	۶	۱	۰	۱	۹	۹۵	
۰/۰۹	۰/۲۸	۲۲	۰	۰	۰	۰	۰	۰	۱۱	۲	۰	۴	۵	۱۰۰	
۰/۰۲	۰/۰۷۷	۶	۰	۰	۰	۰	۰	۰	۲	۰	۰	۱	۳	۱۰۵	
۰/۰۴	۰/۱۴	۱۱	۰	۰	۰	۰	۰	۰	۲	۰	۰	۲	۷	۱۱۰	
۰/۰۳	۰/۰۸۹	۷	۰	۰	۰	۰	۰	۰	۲	۲	۰	۲	۱	۱۱۵	
۱۰۰	۲۸۲۳/۷۷	۲۲۱۰۶	۱۶۶	۹	۲۵	۳۴	۴۵	۱۵۳	۲۹۱۸	۳۰۰۹	۳۳۸۹	۳۸۸۴	۸۴۷۴	جمع	تراکم درختان
			۲۸۳/۷۷	۲/۱۳	۰/۱۱	۰/۳۲	۰/۴۳	۰/۵۷	۱/۹۶	۳۷/۴۵	۳۸/۶۲	۴۳/۵۰	۴۹/۷۵	۱۰۸/۷۸	درصد فراوانی
۱۰۰			۱۰۰	۰/۷۵	۰/۰۴	۰/۱۱	۰/۱۵	۰/۲۰	۰/۶۹	۱۳/۲۰	۱۳/۶۱	۱۵/۳۳	۱۷/۵۶	۳۸/۳۳	

جدول ۳- نتایج آماره‌های تراکم درختان

مشخصه	میانگین	حداکثر	حداقل	انحراف	اشتباه	درصد اشتباہ آماربرداری	ضریب تغییرات (%)
مشخصه	میانگین	حداکثر	حداقل	انحراف	اشتباه	درصد اشتباہ آماربرداری	ضریب تغییرات (%)
تعداد درختان در هکتار	۲۸۳/۷۷	۱۵۰۰	۵۰	۶/۲۴	۱۷۴/۱۶	۴/۴	۶۱/۳۷



شکل ۵- نمودار تراکم درختان گونه‌های مختلف در طبقات قطری مختلف



شکل ۶- بررسی وضعیت واحدهای همگن و متوسط تراکم درختان در واحدهای همگن مختلف

شیب ملایم و متوسط عمق خاک ۸۰ سانتی‌متر است که با توجه به بیشترین ضریب تغییرات عمق خاک، به نظر می‌رسد که این متغیر می‌توانند بیشترین اثرگذاری بر تراکم درختان داشته باشد.

جدول ۴ آمار توصیفی متغیرهای فیزیوگرافی، خاکی و انسانی سری دو کچا را نشان می‌دهد. همان‌طور که نمایان است منطقه تحقیق در ارتفاع ۱۵۰ تا ۶۵۰ متر از سطح دریا واقع شده و دارای

جدول ۴- آمار توصیفی عوامل فیزیوگرافی، خاکی و انسانی در منطقه پژوهش

ضریب تغییرات (درصد)	ارتفاع از سطح دریا (متر)	شیب (درجه)	جهت شیب	عمق خاک (سانتی‌متر)	درصد شن	درصد رس	درصد سیلت	اسیدیتۀ خاک	آبراهه جاده	فاصله از آبراهه (متر)	فاصله از جاده
۳۵/۲۴	۳۵۸/۸۸	۳۵/۶۱	۲۴۳	۸۰/۲۰	۲۸/۱۷	۴۵/۲۰	۳۱/۴۳	۶/۶	۵۶۱/۲۹	۲۳۹/۶۷	میانگین
۱۲۶/۵	۱۲۶/۵	۱۱/۸۹	۴۵	۳۵/۰۴	۹/۱۲	۱۶/۰۸	۵/۷۹	۰/۴۵	۱۹۰/۵۸	۷۶/۸۲	انحراف معیار
۱۵۰	۱۵۰	۱۵/۵	۹۰	۵۰	۸	۲۱	۲۱	۵/۳	۲۰۰	۷۰	حداکثر
۶۵۰	۶۵۰	۴۵/۷۲	۳۶۰	۱۰۰	۴۲	۶۰	۴۰	۷/۸	۱۵۰۰	۷۹۶	حداقل
۳۲/۳۸	۳۵/۲۴	۱۸/۵۱	۴۳/۶۹	۳۲/۳۷	۳۵/۵۷	۱۸/۴۲	۳۳/۹۶	۶/۸۱	۳۳/۹۶	۳۲/۰۲	ضریب تغییرات (درصد)

همبستگی بین تراکم درختان با عمق خاک در بیشترین حد است. از طرف دیگر تراکم درختان با درصد رس، فاصله از جاده، ارتفاع از سطح دریا و شیب، همبستگی از نوع معکوس و معنی دار دارد که بیشترین همبستگی مربوط به تراکم درختان با درصد رس است. حال آنکه رابطه معنی داری بین تراکم درختان با اسیدیتۀ خاک و جهت شیب مشاهده نشد (جدول ۵).

#### - ضریب همبستگی پیرسون

برای بررسی مقدار و شدت همبستگی هر یک از متغیرهای مستقل (ارتفاع از سطح دریا، شیب، جهت شیب، عمق خاک، درصد شن، درصد رس، اسیدیتۀ خاک، فاصله از آبراهه و فاصله از جاده) با تراکم درختان از ضریب همبستگی پیرسون استفاده شد. نتایج نشان داد که تراکم درختان با عمق خاک، درصد شن، فاصله از آبراهه‌ها و درصد سیلت همبستگی مستقیم و معنی داری دارد و شدت

جدول ۵- ضریب همبستگی پیرسون بین تراکم درختان در هکتار و عوامل فیزیوگرافی، خاکی و انسانی

متغیرهای مستقل	متغیر وابسته (تعداد درخت در هکتار)
ارتفاع از سطح دریا (متر)	-۰/۳۶**
شیب (درجه)	-۰/۳۴**
جهت شیب	۰/۰۸۱
عمق خاک (سانتی‌متر)	۰/۰۸۵**
درصد شن	۰/۷۴۰ **
درصد رس	-۰/۰۸۹ **
درصد سیلت	۰/۲۳۳*
فاصله از آبراهه (متر)	-۰/۰۵۵۹**
فاصله از جاده (متر)	-۰/۰۴۸۰**

\*\* معنی داری در سطح احتمال ۹۹ درصد، \* معنی داری در سطح احتمال ۹۵ درصد

احتمال ۹۵ درصد پیش‌بینی کنند (P = ۰/۰۰۰) که سهم متغیر درصد رس در پیش‌بینی تراکم درختان به مراتب بیشتر از سهم عمق خاک است (Beta = -۰/۹۰۱) (جدول ۶).

-مدل‌سازی با رگرسیون خطی چندگانه به روش گام‌به‌گام

نتایج رگرسیون خطی چندگانه به روش گام‌به‌گام نشان داد که دو متغیر درصد رس و عمق خاک توانستند تراکم درختان را به صورت معنی‌دار در سطح

جدول ۶- ضرایب مدل رگرسیون خطی چندگانه برای برآورد تراکم درختان

متغیرهای پیش‌بین	ضرایب رگرسیونی		استاندارد شده	t	P	$R^2$	$R^2_{adj}$
	غیراستاندارد	Beta					
مقدار ثابت	۰/۸۹۴	۰/۰۱۵		۵۶/۷۸۵	۰/۰۰۰		
درصد رس	-۰/۹۰۱	۰/۰۴۶	-۰/۹۱۰	-۱۹/۷۴۰	۰/۰۰۰		
مقدار ثابت	۰/۳۹۷	۰/۱۲۰		۳/۲۹۸	۰/۰۰۱		
درصد رس	-۰/۴۸۰	۰/۱۱۰	-۰/۴۸۵	-۴/۳۸۳	۰/۰۰۰	۰/۸۵۸	۰/۸۴۴۵
عمق خاک	۰/۵۳۱	-۱۲۸	۰/۴۶۰	۴/۱۵۸	۰/۰۰۰		

معنی‌داری در سطح احتمال ۹۵ درصد

مدل‌ها با توجه به معیارهای ارزیابی نتایج نشان داد که در گام نخست متغیر درصد رس ۷۵/۸۱ درصد از تغییرات تراکم درختان تعیین کرده است در گام دوم با اضافه شدن عمق خاک، مقدار ضریب تعیین تعديل شده به ۶۹/۱۰ درصد رسید (جدول ۷).

به منظور مدل‌سازی تراکم درختان با ۳۰ درصد از داده‌هایی که وارد مرحله مدل‌سازی نشده بودند، از ضرایب رگرسیونی استاندارد شده ( $\beta$ ) استفاده شد که در آن  $Y$  تراکم درختان و  $x_1$  و  $x_2$  به ترتیب متغیر درصد رس و عمق خاک است. با ارزیابی عملکرد

جدول ۷- مدل‌سازی تراکم درختان به روش گام‌به‌گام در مرحله اعتبارسنجی

Mدل	معادله	$R^2$	$R^2_{adj}$	RMSE	RMSE%	MAE	Bias	Bias%
۱	$Y = ۰/۸۹۴ - ۰/۹۰۱ x_1$	۰/۷۱۲۵	۰/۷۵۸۱	۵۵/۵۹	۲۰/۹۱	۴۰/۵۸	۴۰/۵۸	۱۵/۲۶
۲	$Y = ۰/۳۹۷ - ۰/۴۸۰ x_1 + ۰/۵۳۱ x_2$	۰/۶۸۱۲	۰/۶۹۱۰	۷۶/۳۱	۲۸/۷۱	۶۴/۵۰	۶۴/۵۰	۲۴/۲۶

SSOM و تعداد نورون‌های لایه پنهان MLP به شرح زیر است:

مدل ۱ با یک متغیر ورودی (ارتفاع از سطح دریا) حاوی  $2 \times 4$  نورون در لایه کوهون SSOM و ۴ نورون در لایه پنهان MLP.

-شبکه‌های عصبی مصنوعی MLP و SSOM نتایج مدل‌های مختلف SSOM و MLP بر حسب معیارهای ارزیابی مدل در پیش‌بینی تراکم درختان در جدول‌های ۸ و ۹ ارائه شده است. به طور خلاصه ساختار شبکه‌های عصبی SSOM و MLP با توجه تعداد و نوع ورودی، تعداد نورون‌های لایه کوهون

جدول ۸- عملکرد شبکه عصبی SSOM در برآورد تراکم درختان

SSOM									
مدل	ساختار شبکه	مرحله	R <sup>2</sup>	R <sup>2</sup> adj	MAE	RMSE	RMSE%	Bias	Bias%
۱	۲ × ۴	آموزش	۰/۷۰۱۲	۰/۷۶۳۴	۴۵/۹۶	۵۸/۷۴	۲۰/۱۰	۲۴/۶۳	۸/۴۳
		اعتبارسنجی	۰/۶۵۹۸	۰/۶۶۹۵	۳۰/۰۸	۵۴/۶۴	۲۰/۰۵۵	۳۴/۷۴	۱۳/۰۷
۲	۴ × ۷	آموزش	۰/۷۸۲۵	۰/۷۷۳۶	۴۰/۲۱	۴۹/۵۸	۱۶/۹۶	۱۹/۸۹	۶/۸۰
		اعتبارسنجی	۰/۵۴۸۴	۰/۵۲۸۷	۳۵/۸۲	۷۱/۵۱	۲۶/۹۰	۵۴/۶۹	۲۰/۰۷
۳	۷ × ۴	آموزش	۰/۸۶۸۱	۰/۷۸۲۴	۲۷/۷۴	۳۹/۹۲	۱۳/۶۶	۱۸/۱۳	۶/۲۰
		اعتبارسنجی	۰/۷۲۰۲	۰/۷۶۵۵	۲۵/۸۲	۴۸/۹۷	۱۸/۴۲	۳۲/۰۷	۱۲/۰۶
۴	۷ × ۲	آموزش	۰/۸۳۸۶	۰/۸۷۸۹	۳۴/۸۶	۴۳/۷۷	۱۴/۹۸	۱۸/۶۰	۶/۳۶
		اعتبارسنجی	۰/۷۷۴۹	۰/۷۷۷۹	۲۱/۰۴	۲۸/۶۱	۱۴/۵۲	۱۹/۳۱	۷/۲۶
۵	۴ × ۲	آموزش	۰/۹۸۳۲	۰/۸۸۳۹	۲۷/۶۳	۳۷/۹۰	۱۲/۹۷	۱۷/۹۲	۶/۱۳
		اعتبارسنجی	۰/۹۱۱۷	۰/۹۹۰۹	۸/۸۳	۲۴/۳۶	۹/۱۶	۱۱/۳۴	۴/۲۶
۶	۳ × ۴	آموزش	۰/۸۴۸۲	۰/۸۷۸۹	۳۰/۴۰	۴۳/۱۶	۱۴/۷۷	۲۰/۱۱	۶/۸۸
		اعتبارسنجی	۰/۸۴۳۵	۰/۸۷۶۴	۱۳/۵۸	۳۶/۶۶	۱۳/۷۹	۲۷/۸۵	۱۰/۴۷
۷	۴ × ۲	آموزش	۰/۸۳۲۵	۰/۸۷۷۱	۳۵/۲۰	۴۴/۷۲	۱۵/۳۰	۱۹/۳۸	۶/۶۳
		اعتبارسنجی	۰/۷۵۴۸	۰/۷۶۹۳	۲۲/۳۲	۴۳/۴۲	۱۶/۳۳	۱۷/۳۴	۶/۵۲
۸	۴ × ۳	آموزش	۰/۸۴۰۹	۰/۸۷۷۱	۳۴/۱۵	۴۴/۳۷	۱۵/۱۸	۲۰/۶۷	۷/۰۷
		اعتبارسنجی	۰/۷۵۰۳	۰/۷۶۷۲	۲۳/۷۹	۴۴/۱۰	۱۶/۵۹	۲۸/۰۱	۱۰/۰۳

جدول ۹- عملکرد شبکه عصبی MLP در برآورد تراکم درختان

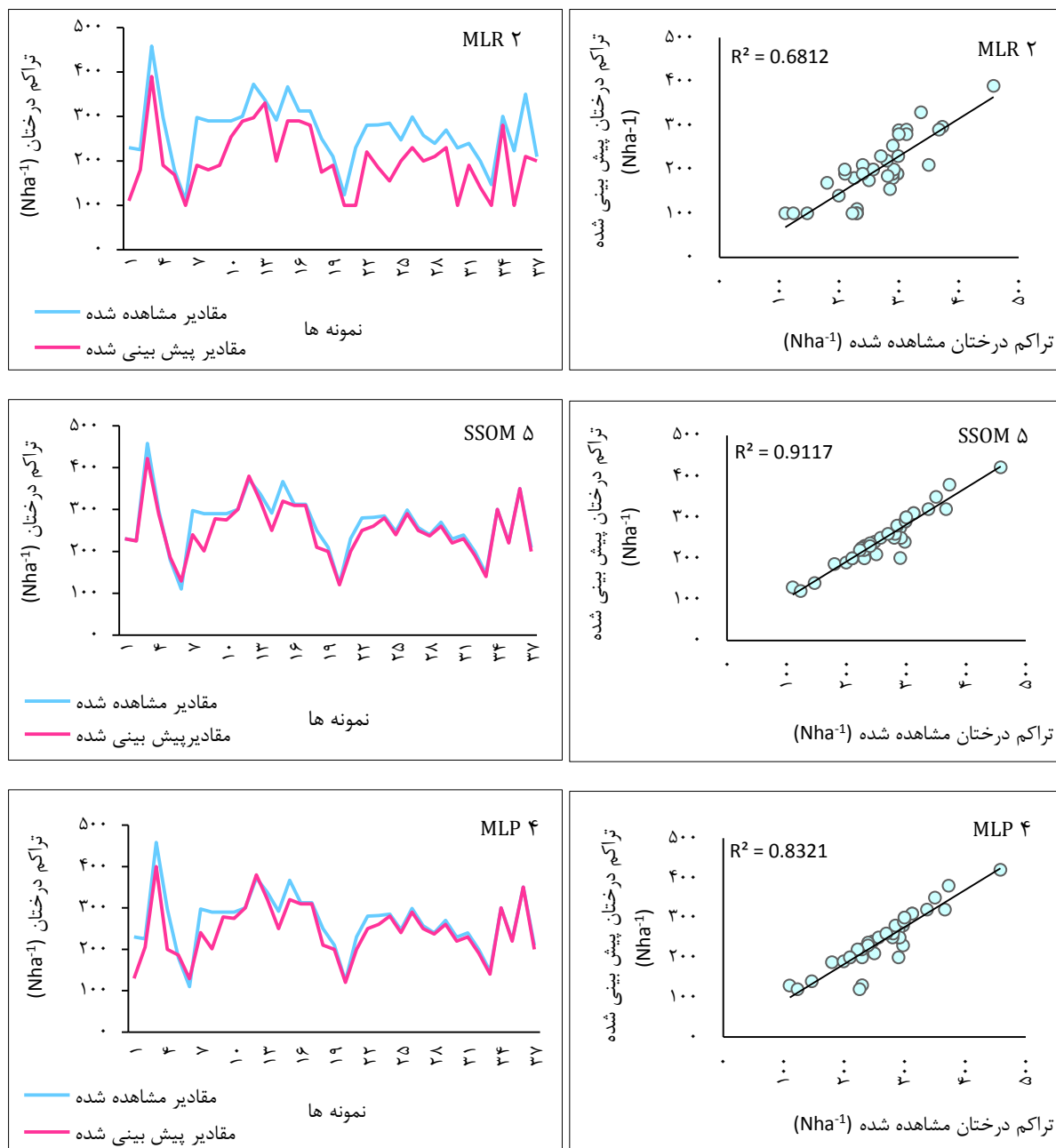
MLP									
مدل	ساختار شبکه	مرحله	R <sup>2</sup>	R <sup>2</sup> adj	MAE	RMSE	RMSE%	Bias	Bias%
۱	۱-۴-۱	آموزش	۰/۸۸۳۷	۰/۸۸۶۳	۲۶/۵۱	۳۵/۸۴	۱۲/۲۶	۱۳/۳۵	۴/۵۶
		اعتبارسنجی	۰/۷۳۱۲	۰/۷۶۷۴	۲۸/۳۸	۴۰/۰۲	۱۵/۰۵	۳۲/۸۵	۱۲/۳۵
۲	۲-۱۰-۱	آموزش	۰/۷۷۶۳	۰/۷۶۲۲	۴۱/۶۸	۵۰/۳۰	۱۷/۲۱	۲۰/۱۹	۶/۹۱
		اعتبارسنجی	۰/۵۸۱۵	۰/۵۹۲۸	۳۲/۰۷	۶۹/۴۱	۲۶/۱۱	۵۳/۵۰	۲۰/۱۲
۳	۳-۷-۱	آموزش	۰/۷۱۷۹	۰/۷۶۵۴	۴۴/۸۴	۵۶/۳۹	۱۹/۳۰	۲۲/۲۹	۷/۸۲
		اعتبارسنجی	۰/۵۵۰۶	۰/۵۲۷۵	۳۳/۶۹	۷۱/۰۱	۲۶/۷۱	۵۴/۴۲	۲۰/۴۷
۴	۴-۱۱-۱	آموزش	۰/۸۷۰۹	۰/۸۸۳۱	۲۷/۴۸	۳۹/۰۸	۱۳/۳۷	۱۶/۹۹	۵/۸۱
		اعتبارسنجی	۰/۸۳۲۱	۰/۸۷۶۰	۱۵/۵۳	۴۰/۲۶	۱۵/۱۴	۲۹/۱۵	۱۰/۹۶
۵	۵-۷-۱	آموزش	۰/۹۰۴۶	۰/۸۸۷۱	۲۲/۲۲	۳۳/۹۳	۱۱/۸۱	۱۵/۵۵	۵/۳۲
		اعتبارسنجی	۰/۶۶۹۳	۰/۶۶۲۴	۲۹/۷۵	۴۹/۶۴	۱۸/۸۷	۲۹/۶۱	۱۱/۱۴
۶	۶-۹-۱	آموزش	۰/۸۹۰۳	۰/۸۸۴۹	۲۶/۶۰	۳۶/۵۵	۱۲/۵۰	۱۶/۸۸	۵/۷۷
		اعتبارسنجی	۰/۴۳۲۴	۰/۴۹۰۸	۳۸/۵۸	۸۲/۲۸	۳۰/۹۵	۶۵/۰۴	۲۴/۴۷
۷	۷-۱۳-۱	آموزش	۰/۸۹۱۱	۰/۸۸۴۸	۲۶/۴۰	۳۶/۳۸	۱۲/۴۵	۱۶/۷۵	۵/۷۳
		اعتبارسنجی	۰/۵۱۴۴	۰/۵۱۱۸	۲۶/۰۱	۷۳/۶۴	۲۷/۷۰	۵۵/۸۵	۲۱/۰۱
۸	۸-۱۱-۱	آموزش	۰/۹۲۶۵	۰/۹۹۰۴	۱۴/۳۷	۲۹/۰۱	۹/۹۲	۱۱/۸۲	۴/۰۴
		اعتبارسنجی	۰/۶۲۳۵	۰/۶۳۵۱	۳۱/۰۵	۶۲/۰۶	۲۳/۲۲	۴۳/۶۶	۱۶/۴۲

شبکه‌های عصبی مصنوعی در مرحله اعتبارسنجی نتایج نشان داد که شبکه عصبی ۵ SSOM با ساختار  $(4 \times 2)$  در مدل ۲ با دو متغیر ورودی (ارتفاع از سطح دریا و شیب) حاوی  $4 \times 7$  نورون در لایه کوهونن  $MLP$  و  $10$  نورون در لایه پنهان  $SSOM$  مدل ۳ با سه متغیر ورودی (ارتفاع از سطح دریا، شیب و عمق خاک) حاوی  $7 \times 4$  نورون در لایه کوهونن  $SSOM$  و  $7$  نورون در لایه پنهان  $MLP$  مدل ۴ با چهار متغیر ورودی (ارتفاع از سطح دریا، شیب، عمق خاک، درصد رس) حاوی  $7 \times 2$  نورون در لایه کوهونن  $SSOM$  و  $11$  نورون در لایه پنهان  $MLP$  مدل ۵ با پنج متغیر ورودی (ارتفاع از سطح دریا، شیب، عمق خاک، درصد رس و فاصله از آبراهه‌ها) حاوی  $4 \times 2$  نورون در لایه کوهونن  $SSOM$  و  $7$  نورون در لایه پنهان  $MLP$  مدل ۶ با شش متغیر ورودی (ارتفاع از سطح دریا، شیب، عمق خاک، درصد رس، فاصله از آبراهه‌ها و فاصله از جاده) حاوی  $3 \times 4$  نورون در لایه کوهونن  $SSOM$  و  $9$  نورون در لایه پنهان  $MLP$  مدل ۷ با هفت متغیر ورودی (ارتفاع از سطح دریا، شیب، عمق خاک، درصد رس، فاصله از آبراهه‌ها، فاصله از جاده و درصد شن) حاوی  $4 \times 2$  نورون در لایه کوهونن  $SSOM$  و  $13$  نورون در لایه پنهان  $MLP$ .

مدل ۸ با هشت متغیر (ارتفاع از سطح دریا، شیب، عمق خاک، درصد رس، فاصله از آبراهه‌ها، فاصله از جاده، درصد شن و درصد سیلت) حاوی  $4 \times 3$  نورون در لایه کوهونن  $SSOM$  و  $11$  نورون در لایه پنهان  $MLP$  با مقایسه مدل رگرسیونی خطی چندگانه و

شکل ۷ نحوه انطباق مقادیر مشاهده شده و پیش‌بینی شده تراکم درختان در مدل رگرسیون خطی چندگانه و شبکه‌های عصبی ۵  $SSOM$  و  $MLP$  را نشان می‌دهد. همان‌طور که نمایان است، در شبکه عصبی ۵  $SSOM$  مقادیر پیش‌بینی شده تا حد زیادی به مقادیر واقعی نزدیک و بر هم‌دیگر منطبق‌اند، ولی در مدل رگرسیون خطی چندگانه، اختلاف زیادی بین آنها مشاهده می‌شود.

با بررسی دقیق‌تر میانگین مقادیر واقعی و برآورده تراکم درختان با مدل رگرسیونی خطی چندگانه و شبکه‌های عصبی مصنوعی با استفاده از آزمون تی جفتی مشاهده شد که مقادیر برآورده تراکم درختان با استفاده از شبکه عصبی  $SSOM$  در سطح احتمال  $95$  درصد به مقادیر واقعی نزدیک‌تر است، درحالی که این اختلاف در مدل رگرسیونی و شبکه عصبی  $4$   $MLP$  در سطح احتمال  $95$  درصد معنی‌دار است (جدول ۱۰).



شکل ۷- مقایسه مقادیر مشاهده شده و پیش‌بینی شده تراکم درختان ( $Nha^{-1}$ ) در مدل رگرسیون خطی چندگانه و شبکه‌های عصبی MLP ۴ و SSOM ۵

جدول ۱۰- مقایسه اختلاف بین میانگین مقادیر واقعی و مقادیر برآوردشده تراکم درختان

میانگین واقعی	مدل	میانگین برآورده	t آماره	سطح معنی داری	اختلاف میانگین ها
۲۸۳/۷۷	MLR ۲	۲۵۴/۰۳	۲/۶۵	۰/۰۰۸	-۲۹/۷۴
۲۸۳/۷۷	SSOM ۵	۲۶۳/۹۱	۱/۷۲	۰/۰۸	-۱۹/۸۶
۲۶۰/۳۴	MLP ۴	۲۶۰/۳۴	۲/۰۱	۰/۰۴	-۲۳/۴۳

معنی داری در سطح خطای ۵ درصد

غذایی و صدمات ناشی از شرایط سخت یخنیان، سرما و توفان، کاسته می‌شود. نتایج پژوهش Hassanzad Navroodi & Safarkar (2017) این موضوع را اثبات کرد. آنها بیان کردند که در ارتفاعات بالاتر بر تراکم درختان افزوده می‌شود. Mirzaei Zadeh et al. (2016) نتیجه گرفتند که با افزایش ارتفاع از سطح دریا، شب تند دره آبراهه‌ها سبب ایجاد فرسایش می‌شود و این فرسایش به نقطه‌ای می‌رسد که درختان ریشه کن می‌شوند. نتایج پژوهش Goodarzi et al. (2012) نشان داد که شب از مهم‌ترین عوامل تأثیرگذار بر مشخصه‌های ساختاری جنگل است که با تأثیر غیرمستقیم بر عمق خاک، بافت خاک، ساختمان خاک و نفوذپذیری خاک، تراکم درختان را تحت تأثیر قرار می‌دهد. مطابق با نتایج پژوهش Jaferyan et al. (2015) بین تراکم درختان و فاصله از آبراهه‌ها ارتباط معنی‌دار و معکوسی وجود دارد و در نتیجه دور شدن از آبراهه‌ها، از تراکم درختان کاسته می‌شود. پژوهش Miriam & Taylor (2010) نشان داد که فاصله از جاده‌ها از دیگر عوامل مؤثر بر تعداد درختان در هکتار است و هرچه فاصله از جاده‌ها بیشتر باشد بر تراکم درختان افزوده می‌شود که همسو با یافته‌های پژوهش حاضر است. با توجه به نتایج پژوهش حاضر به نظر می‌رسد که بین مشخصه ساختاری جنگل با عوامل فیزیوگرافی، خاکی و انسانی روابطی وجود دارد که یکی از اساسی‌ترین روش‌ها برای درک روابط پیچیده، مدل‌سازی است. با وجود کاربردهای وسیع مدل‌های رگرسیونی خطی در علوم کاربردی مانند علوم جنگل Zaniewski et al., 2002; Horsch, 2003; ) Claessens et al., 2006; Mirzaei Zadeh et al., 2016، مقادیر محاسبه شده  $R^2_{adj}$  و RMSE% و  $Bias\%$  پژوهش حاضر نشان داد که مدل رگرسیونی خطی چندگانه تنها با عوامل خاکی (عمق خاک و درصد رس) توانست ۶۹/۱۰ درصد از تغییرات تراکم درختان را تبیین کند، زیرا مدل‌های رگرسیونی خطی

## بحث

هدف از آماربرداری جنگل، آگاهی از وضعیت کمی و کیفی مشخصه‌های ساختاری جنگل است که پایه و اساس برنامه‌ریزی و سیاست جنگل را تشکیل می‌دهد (Fatehi et al., 2017). امروزه برای دستیابی به اطلاعات وسیع در دوره زمانی کوتاه‌تر و بدون صرف هزینه‌های گزاف با مرکز بر متغیرهای مهم و تأثیرگذار، می‌توان مشخصه‌های ساختاری جنگل را به کمک روش‌هایی، مدل‌سازی و پیش‌بینی کرد (Boncina & Cavlovic, 2009). در این تحقیق، از شبکه‌های عصبی MLP برای پیش‌بینی تراکم درختان با استفاده از متغیرهای فیزیوگرافی، خاکی و انسانی استفاده و به مقایسه با مدل رگرسیونی خطی چندگانه پرداخته شد. براساس آمار توصیفی، نتایج داده‌های زمین نشان داد که داده‌ها دارای واریانس و دامنه تغییرات بسیار در منطقه تحت بررسی هستند که نشان می‌دهد قطعات نمونه از دامنه وسیع تراکم درختان ۵۰ تا ۱۵۰۰ اصله در هکتار انتخاب شده‌اند و وجود ضریب تغییرات زیاد عوامل خاکی نسبت به دیگر متغیرها این انتظار را به وجود می‌آورد که مشخصه اندازه گیری شده بیشتر تحت تأثیر عمق خاک در منطقه تحقیق است. کما اینکه نتایج حاصل از ضریب همبستگی پیرسون در پژوهش حاضر، مؤید تأثیرپذیرتر بودن تراکم درختان جنگلی از عامل عمق خاک منطقه است. مطابق نتایج پژوهش‌های Kahveci et al. (2018)، Klippel et al. (2017) Sefidi et al. (2018) نتایج ضریب همبستگی پیرسون پژوهش حاضر نشان داد که تراکم درختان افزون بر عمق خاک تحت تأثیر عوامل توپوگرافی (ارتفاع از سطح دریا و شب)، فیزیوگرافی (فاصله از آبراهه)، انسانی (فاصله از جاده) و بافت خاک (درصد رس، سیلت و شن) در منطقه پژوهش است. براساس یافته‌های Fatehi et al. (2017) با افزایش ارتفاع از سطح دریا از تراکم درختان به دلیل افزایش رقابت بین درختان برای دسترسی به منابع یعنی دما، آب و مواد

مصنوعی ۴ MLP و ۵ SSOM به ترتیب ۱۸/۵۰ و ۲۹/۹۹ درصد بیش از مدل رگرسیونی خطی چندگانه است که بیانگر انعطاف‌پذیری و قدرت یادگیری زیاد شبکه‌های عصبی مصنوعی است. نتایج پژوهش حاضر، می‌تواند مکمل نتایج بررسی‌های پیشین در این زمینه باشد. (Ghanbari et al., 2008) در پژوهش خود از دو نوع شبکه عصبی MLP و RBF و مدل رگرسیونی خطی برای برآورد مشخصه تراکم درختان در سری یک جنگل آموزشی و پژوهشی شصت کلاته گرگان استفاده کردند و اعتبارسنجی مدل‌ها نشان داد که شبکه‌های عصبی مصنوعی نسبت به مدل رگرسیونی از دقت بیشتری برخوردار است. (Shataee et al., 2012) در تحقیقی از سه روش یادگیری ماشین Knn، SVR و RF در جنگلهای سری یک دارابکلا برای پیش‌بینی مشخصه‌های ساختاری جنگل استفاده کردند. آنها در پژوهش خود، توانایی الگوریتم‌های یادگیری ماشین را در برآورد تراکم درختان به اثبات رساندند و نتیجه گرفتند که این سه الگوریتم (KNN، RMSE و SVR) با RF برابر با ۲۶/۸۶، ۲۵/۵۴ و ۲۵/۸۶ درصد، می‌توانند تراکم درختان را پیش‌بینی کنند. نتایج پژوهش (Vafaei et al., 2016) بیانگر قابلیت شبکه عصبی MLP در مقایسه با مدل رگرسیونی در برآورد تراکم درختان با استفاده از داده‌های توپوگرافی، خاک‌شناسی، اقلیمی و اطلاعات سنجش از دوری است. در این زمینه، یافته‌های آنها نشان داد که شبکه عصبی مصنوعی ( $R^2 = 0.84$ ) و (RMSE=۱۱/۳۲) در مقایسه با تحلیل رگرسیون خطی چندگانه ( $R^2 = 0.68$ ) و (RMSE=۱۵/۶۲) دقت بیشتری دارد. سرانجام (Yazdani et al., 2020) با مقایسه روش‌های مختلف الگوریتم یادگیری ماشین و مدل رگرسیون در پیش‌بینی مشخصه‌های ساختاری در جنگل تحقیقاتی دکتر بهرام‌نیا به این نتیجه رسیدند که الگوریتم ANN، SVM، kNN عملکرد بهتری از روش آماری رگرسیونی دارد. با وجود همه اندیشه‌های عصبی مصنوعی، تعداد و نوع

به‌دلیل محدودیت‌هایی همچون یکسان بودن واریانس خطی، نرمال بودن متغیرهای وابسته و خطی بودن رابطه بین متغیرهای وابسته و مستقل، قادر به بیان همه تغییرات موجود نیستند، چراکه آنها بیشتر اجازه ورود به متغیرهای بسیار همبسته به منظور افزایش قابلیت مدل‌سازی را می‌دهند، در حالی که برخی متغیرها کمترین همبستگی را با متغیر وابسته دارند، ولی وارد مدل نمی‌شوند (Vieira et al., 2018). نتایج بررسی‌های Bayat et al. (2020) و Reis et al. (2018) و Ercanlı et al. (2018) داد که شبکه‌های عصبی مصنوعی به‌دلیل آموزش، تعمیم‌پذیری و تحمل نویز، قابلیت بسیار خوبی در یافتن لایه‌های پنهان بین متغیرهای وابسته و مستقل دارند. استنباط آماری متغیرهای ورودی به‌دلیل نبود فرض‌های آماری در شبکه‌های عصبی صورت نمی‌پذیرد، ولی به‌دلیل آموزش در طول فرایند یادگیری اصلاً نیازی به فرض‌های آماری ندارند (Ferraz Filho et al., 2018). موفقیت شبکه‌های عصبی مصنوعی مختلف در پیش‌بینی مشخصه‌های ساختاری جنگل در چند پژوهش اثبات شده است Bayat et al., 2013; Bayat et al., 2016; Özçelik et al., 2017; Reis et al., 2016; Ronoud et al., 2019). در پژوهش حاضر، عملکرد شبکه‌های عصبی مصنوعی MLP و SSOM به منظور پیش‌بینی تعداد درختان در هکتار با استفاده از برخی عوامل فیزیوگرافی، خاکی و انسانی بررسی شد. نتایج نشان داد که شبکه عصبی MLP با متغیرهای توپوگرافی (ارتفاع از سطح دریا، شیب) و خاکی (عمق خاک، درصد رس) و شبکه عصبی SSOM با عوامل فیزیوگرافی (ارتفاع از سطح دریا، شیب)، خاکی (عمق خاک، درصد رس) و فیزیوگرافی (فاصله از آبراهه‌ها) به ترتیب می‌توانند بیش از ۸۰ و ۹۰ درصد از تراکم درختان را پیش‌بینی کنند. در مقایسه با مدل رگرسیونی خطی چندگانه از نظر ضریب تبیین تعدیل شده، مشاهده شد که دقت شبکه‌های عصبی

پایه شعاعی را در لایه پنهان خود پیدا می‌کند و به علت داشتن دقت بیشتر و قابلیت یادگیری سریع‌تر از شبکه عصبی MLP در حل مسائل مربوط به مجموعه داده‌های بزرگ با تعداد بسیاری ویژگی‌ها از اهمیت زیادی برخوردار است که مؤید یافته‌های پژوهش حاضر است. از این‌رو می‌توان از شبکه عصبی SSOM به عنوان روش جایگزین شبکه عصبی پرسپترون چندلایه، به منظور برآورد تراکم درختان جنگل‌های شمال ایران استفاده کرد.

### سپاسگزاری

از همکاری صمیمانه مدیر کل منابع طبیعی و آبخیزداری استان گیلان و کارشناسان محترم آن اداره کل، به‌ویژه آقای مهندس علیرضا صیادی که تسهیلات لازم برای اجرای عملیات صحراوی را فراهم کردند، بسیار متشرکیم.

وروودی‌ها در پژوهش‌های صورت‌گرفته می‌توان اقرار کرد که شبکه‌های عصبی مصنوعی بر مدل‌های رگرسیون خطی برتری دارند. با مقایسه دقت برآورد تراکم درختان با شبکه عصبی ۵ SSOM و MLP ۴ نتایج پژوهش حاضر نشان داد که شبکه عصبی ۵ SSOM ۱۱/۴۹ درصد دقت بیشتری در مقایسه با شبکه عصبی ۴ MLP دارد. با بررسی دقیق‌تر و استفاده از آزمون آماری تی جفتی، نتایج نشان داد که شبکه عصبی SSOM از نوع رقابتی و نظرارتی، در سطح احتمال ۹۵ درصد مقادیر مشابه با مقادیر واقعی دارد که علت آن وجود توابع گوسی است و این ویژگی در شبکه‌های عصبی Gil & Johnsson (2010) با توابع سیگموئیدی مشاهده نمی‌شود. MLP و RBF SSOM خصوصیاتی شبیه به شبکه عصبی تابع پایه شعاعی دارد که به‌طور خودکار تعداد مناسبی از توابع

## References

- Amiri, M. (2016). The study of some silvicultural characteristics of an unlogged mixed oriental beech stand in the Golesatan Province. *Journal of Plant Research (Iranian Journal of Biology)*, 31(3), 756-768.
- Amiri, M., Mostafa, M., & Rahimi, M. (2019). Distribution mapping of forest types in Ziarat Forestey Plan using parametric and nonparametric algorithm. *Iranian Journal of Forest*, 11(2), 239-254.
- Bayat, M., Pukkala, T., Namiranian, M., & Zobeiri, M. (2013). Productivity and optimal management of the uneven-aged hardwood forests of Hyrcania. *European journal of Forest Research*, 132, 851-864.
- Bayat, M., Namiranian, M., Omid, M., Rashidi, A., & Babayi, S. (2016). Applicability of artificial neural network for estimating the forest growing stock. *Iranian Journal of Forest and Poplar Research*, 24, 214-226.
- Bayat, M., Bettinger, P., Heidari, S., Henareh Khalyani, A., Jourgholami, M., & Hamidi, S.K. (2020). Estimation of tree heights in an uneven-aged, mixed forest in northern Iran using artificial intelligence and empirical models. *Forests*, 11(324), 1-19.
- Boncina, A., & Cavlovic, J. (2009). Perspectives of forest management planning: slovenian and croatian experience. *Croatian Journal of Forest Engineering*, 30(1), 77-87.
- Cameron, A.C., & Windmeijer, F.A.G. (1997). An R-squared measure of goodness of fit for some common nonlinear regression models. *Journal of Econometrics*, 77(2), 329-342.

- Chatal, Y., & Saplıoğlu, K. (2018). Comparison of adaptive neuro-fuzzy inference system, artificial neural networks and non-linear regression for bark volume estimation in brutian pine (*Pinus brutia* ten.). *Applied Ecology and Environmental Research*, 16(2), 2015-2027.
- Claessens, L., Verburg, P.H., Schoorl, J.M., & Veldkamp, A. (2006). Contribution of topographically based landslide hazard modeling to the analysis of the spatial distribution and ecology of kauri (*Agathis australis*). *Landscape Ecology*, 21, 63-76.
- Dawson, C.W., & Wilby, R.L. (2001). Hydrological modelling using artificial neural networks. *Progress in Physical Geography*, 25(1), 80-108.
- Demirci, M., & Baltaci, A. (2013). Prediction of suspended sediment in river using fuzzy logic and multilinear regression approaches. *Neural Computing and Applications*, 23(1), 145-151.
- Ediriweera, S., Danaher, T., & Pathirana, S. (2016). The influence of topographic variation on forest structure in two woody plant communities: A Remote Sensing approach. *Forest Systems*, 25(1), 1-11.
- Ercanlı, I., Günlü, A., Şenyurt, M., & Keleş, S. (2018). Artificial neural network models predicting the leaf area index: a case study in pure even-aged Crimean pine forests from Turkey. *Forest Ecosystems*, 5 (29), 1-12.
- Fan, C.Y., Fan, P.S., Chan, T.Y., & Chang, S.H. (2012). Using hybrid data mining and machine learning clustering analysis to predict the turnover rate for technology professionals. *Expert Systems with Applications*, 39(10), 8844–8851.
- Fatehi, P., Damm, A., Schaepman, M.E., & Kneubühler, M. (2015). Estimation of alpine forest structural variables from imaging spectrometer data. *Remote Sensing of Environment*, 7, 16315–16338.
- Fatehi, P., Damm, A., Leiterer, R., Pir Bavaghār, M., Schaepman, M.E., & Kneubühler, M. (2017). Tree density and forest productivity in a heterogeneous Alpine Environment: insights from airborne laser scanning and imaging spectroscopy. *Forests*, 8(212), 1-21.
- Ferraz Filho, A.C., Mola-Yudego, B., Ribeiro, A., Scolforo, J.R.S., Loos, R.A., & Scolforo, H.F. (2018). Height-diameter models for eucalyptus sp. plantations in Brazil. *Cerne*, 24, 9–17.
- Forests, Rangelands & Watershed Management Organization. (2008). *Forestry plan of Kacha two region*, Guilan Province: General Department of Natural Resources, 198pp.
- Ghanbari, F., Shataee, Sh., Dehghani, A.A., & Ayoubi, Sh. (2008). Tree Density Estimation of Forests by Terrain Analysis and Artificial Neural Network. *Journal of Wood & Forest Science and Technology*, 16(4), 25-42.
- Gil, D., & Johnsson, M. (2010). Supervised SOM Based Architecture versus Multilayer Perceptron and RBF Networks. Lund University. *Expert Systems with Applications*, 37(6), 4713 – 4718.
- Gimblett, R.H., & Ball, G.L. (1995). Neural network architectures for monitoring and simulating changes in forest resources management. *AI Applications*, 9, 103-123.
- Goodarzi, Gh.R., Sagheb-Talebi, Kh., & Ahmadloo, F. (2012). The study of effective factors on Almond (*Amygdalus scoparia* Spach.) distribution in Markazi province. *Iranian Journal of Forest*, 4(3), 209-220.
- Gorzin, F., Namiranian, M., Omid, M., & Bayat, M. (2018). Comparison between artificial neural network and regression analysis methods to predict and estimate the volume of logging trees in the kheyroud forest of Noshahr. *Forest and Wood Products*, 71(2), 118-126.
- Hardy, M. (2003). An Illuminating Counterexample. *American Mathematical Monthly*, 110 (3), 234–238.

- Hassanzad Navroodi, I., & Safarkar, T. (2017). Study of the altitude effect on abundance and composition of tree regeneration in natural forest stands of Astara. *Journal of Plant Research (Iranian Journal of Biology)*, 31(4), 905-917.
- Haykin, S. (1999). Neural Networks: A Comprehensive Foundation. Upper Saddle River, New Jersey, USA: Prentice Hall, 218pp.
- Horsch, B. (2003). Modeling the spatial distribution of mountain and sub alpine forests in the central Alps using digital elevation models. *Ecological Modeling*, 168, 267-282.
- Hyndman, R.J., & Koehler, A.B. (2006). Another look at measures of forecast accuracy. *International Journal of Forecasting*, 22(4), 679–688.
- Jaferyan, E., Pir Bavaghbar, M., & Ghahramani, L. (2015). Determining the most important physiographic factors influencing the distribution of love tree (*Cercis griffithii*) to model the spatial distribution. *Iranian Journal of Forest*, 7(1), 33-44.
- Kahveci, G., Alan, M., & Köse, N. (2018). Distribution of juniper stands and the impact of environmental parameters on growth in the drought-stressed forest-steppe zone of Central Anatolia. *Dendrobiology*, 80, 61-69.
- Kalteh, A.M., & Berndtsson, R. (2007). Interpolating monthly precipitation by selforganizing map (SOM) and multilayer perceptron (MLP). *Hydrological Sciences Journal*, 52(2), 305–317.
- Kalteh, A.M., Hjorthm, P., & Berndtsson, R. (2007). Review of the selforganizing map (SOM) approach in water resources: Analysis, modelling and application. *Environmental Modelling & Software*, 23(7), 835-845.
- Kalteh, A.M., & Hjorth, P. (2008). Imputation of missing values in precipitation-runoff process database. *Hydrology Research*, 40, 420–432.
- Keller, S., Maier, P.M., Riese, F.M., Norra, S., Holbach, A., Börsig, N., Wilhelms, A., Moldaenke, C., Zaake, A., & Hinz, S. (2018a). Hyperspectral Data and Machine Learning for Estimating CDOM, Chlorophyll a, Diatoms, Green Algae, and Turbidity. *International Journal of Environmental Research and Public Health*, 15(9), 1-15.
- Keller, S., Riese, F.M., Stötzer, J., Maier, P.M., & Hinz, S. (2018b). Developing a machine learning framework for estimating soil moisture with VNIR hyperspectral data. *Remote Sensing and Spatial Information Sciences*, 4(1), 101–108.
- Klippel, L., Krusic, P.J., Brandes, R., Hartl-Meier, C., Trouet, V., Meko, M., & Esper, J. (2017). High-elevation inter-site differences in Mount Smolikas tree-ring width data. *Dendrochronologia*, 44, 164-173.
- Klobucar, D., & Subasic, M. (2012). Using self-organizing map in the visualization and analysis of forest inventory. *iForest- Biogeosciences and Forestry*, 5, 216-223.
- Kohonen, T. (1990). The self-organizing map. *Proceedings of the Institute of Electrical and Electronics Engineers*, 78(9), 1464–1480.
- Kohonen, T. (2001). *Self-Organizing Maps*, Berlin, Germany: Springer-Verlag, 501pp.
- Lek, S., Delacoste, M., Baran, P., Dimopoulos, I., Lauques, J., & Aulagnier, S. (1996). Application of neural networks to modelling nonlinear relation-ships in ecology. *Ecological Models*, 90(1), 39-52.
- Liu, Y.C., & Liu, M. (2011). Research of fast SOM clustering for text information. *Expert Systems with Application*, 38(8), 9325–9333.
- Maier, H.R., & Dandy, G.C. (2010). Neural networks for the prediction and forecasting of water resources variables: a review of modelling issues and applications. *Environmental Modelling & Software*, 15, 101-124.

- Miriam, S.W., & Taylor, V.S. (2010). Modeling social and land-use/land-cover change data to assess drivers of smallholder deforestation in Belize. *Applied Geography*, 30, 1123-1136.
- Mirzaei Zadeh, V., Mahdavi, A. Karmshahi, A., & Akbar Jaefarzadeh, A. (2016). Investigation of the spatial pattern of forest cover changes using logistic regressionin Malekshahi. *Journal of Wood & Forest Science and Technology*, 23(3), 45-68.
- Özçelik, R., Diamantopoulou, M.J., Eker, M., & Gürlevik, N. (2017). Artificial neural network models: an alternative approach for reliable above-ground pine-tree biomass prediction. *ForestScience*, 63(3), 291–302.
- Pontius, J.R., Gilmore, R., Olufunmilayo, T., & Hao, C. (2008). Components of information for multiple resolution comparison between maps that share a real variable. *Environmental and Ecological Statistics*, 15(2), 111–142.
- Rastaby, M., Jalilvand, H., & Zandsyry, M. (2013). Evaluation of socio-economic issues allotments Klgchy Zagros forests in this Province. *Natural ecosystems Quartery*, 3(2), 59-70.
- Rawlings, J.O. (1932). Review of simple regression. In J.O. Rawlings, S.G. Pentula & D.A. Dickey (Eds.). *Applied Regression Analysis: A Research Tool, Second Edition* (pp. 1-36). New York: Springer-Verlag.
- Reis, L.P., Souza, A.L., Mazzei, L., Reis, P.C.M., Leite, H.G., Soares, C.P.B., Torres, C.M.M.E., Silva, L.F., & Ruschel, A.R. (2016). Prognosis on the diameter of individual trees on the eastern region of the amazon using artificial neural networks. *Forest Ecology and Management*, 382, 161–167.
- Reis, L.P., Souza, A.L., Reis, P.C.M., Mazzei, L., Soares, C.P.B., Torres, C.M.M.E., Silva, L.F., Ruschel, A.R., & Rêgo, L.J.S. (2018). Estimation of mortality and survival of individual trees after harvesting wood using artificial neural networks in the amazon rain forest. *Journal of Ecological Engineering*, 112, 140–147.
- Riese, F.M., Keller, S., & Hinz, S. (2020). Supervised and Semi-Supervised SelfOrganizing Maps for Regression and Classification Focusing on Hyperspectral Data. *Remote Sensing*, 12(1), 1-23.
- Ronoud, Gh., Darvish Sefat, A.A., & Fatehi, P. (2019). Beech tree density estimation using sentinel-2 data (case study: Khayroud forest). *SPRS International GeoSpatial Conference, Karaj, Iran*, 12-14.
- Sagheb-Talebi, Kh., Sajedi, T., & Yazdian, F. (2004). *Forests of Iran* (pp. 205-207). Tehran, Iran: Publication of Research Institute of Forests and Rangelands.
- Sefidi, K., Firouzi, Y., Keivan Behju, F., Sharari, M., & Rostamikia, Y. (2018). Quantification of spatial structure of juniper stands in Kandaragh region. *Iranian Journal of Forest*, 10(1), 207-220.
- Shataee, S.H., Kalbi, S., Fallah, A., & Pelz, D. (2012). Forest attribute imputation using machine-learning methods and ASTER data: comparison of k-NN, SVR and random forest regression algorithms. *International Journal of Remote Sensing*, 33(19), 6254–6280.
- Stumer, W., Kenter, B., & Kohl, M. (2010). Spatial interpolation of in situ data by SOM algorithm (neural networks) for the assessment of carbon stock in European forests. *Forest Ecology and Management*, 260(3), 287-293.
- Vafaei, S., Pourhashemi, M., Pirbavagh, M., & Jafari, E. (2016). Applying artificial neural network and multiple linear regression models forestimation of forest density in Marivan forests. *Iranian Journal of Forest*, 7(4), 539-555.
- Vesanto, J., Himberg, J., Alhoniemi, E., & Parhankangas, J., (2000) . *SOM Toolbox for Matlab 5* (Report 57.A). Finland: Helsinki University of Technology, 1-60.
- Vieira, G.C., De Mendonça, A.R., Da Silva, G.F., Zanetti, S.S., Da Silva, M.M., & Dos Santos, A.R. (2018). Prognoses ofdiameter and height of trees of eucalyptus using artificial intelligence. *Science of the Total Environment*, 619, 1473–1481.

Yazdani, M., Shataee Jouibary, S.H., Mohammadi, J., & Maghsoudi, Y. (2020). Comparison of different machine learning and regression methods for estimation and mapping of forest stand attributes using ALOS/PALSAR data in complex Hyrcanian forests. *Journal of Applied Remote Sensing*, 14(2), 1-24.

Yu, D.J., Shen, H.B., & Yang, J.Y. (2011). SOMRuler: A Novel Interpretable Transmembrane Helices Predictor. *IEEE Transactions on Nanobiosci*, 10(2), 121–129.

Zaniewski, A.E., Lehmann, A., & Overton, M.J. (2002). Predicting species spatial distributions using presence-only data: a case study of native New Zealand ferns. *Ecological Modeling*, 157, 261-280.

## Comparison of the Performance of Artificial Neural Networks with Regression Analysis in Estimating the Density of Forest Stands in Saravan, Guilan Province

**S. Lotfi asl<sup>1</sup>, I. Hassanzad Navroodi<sup>2\*</sup> and A.M. Kalteh<sup>3</sup>**

<sup>1</sup> Ph.D Student, Dept. of Forestry, University Campus, University of Guilan, Rasht, I. R. Iran

<sup>2</sup>Associate Prof., Dept. of Forestry, Faculty of Natural Resources, University of Guilan, Sowmehsara, I. R. Iran

<sup>3</sup>Assistant Prof., Dept. of Rang and Watershed management, Faculty of Natural Resources, University of Guilan, Sowmehsara, I. R. Iran

(Received: 20 March 2020, Accepted: 06 January 2021)

### Abstract

Tree density as one of the most important features of forest structural is necessary for management, conservation and reforestation of northern Iran forest. In this research, tree densities were estimated using physiographic, soil and human factors using artificial neural network supervised self-organized, multi-layer perceptron and multiple linear regression model and compared according to their performance evaluation criteria. For this purpose, homogeneous units in GIS environment were prepared. Sampling was performed by random-systematic method with 150×200 m network dimensions and a total of 779 0.1 ha circular shape plots were implemented. By measuring the diameter at breast height of all trees above 7.5 cm, tree density was calculated for each sample plot and homogeneous units. The results showed that SSOM 5 neural network ( $R^2 = 0.9117$ ,  $R^2_{adj} = 0.9909$ , RMSE% = 9.16, Bias% = 4.26) compared to MLP 4 neural network ( $R^2 = 0.8321$ ,  $R^2_{adj} = 0.8760$ , RMSE% = 15.14, Bias% = 10.96) and multiple linear regression model ( $R^2 = 0.6812$ ,  $R^2_{adj} = 0.6910$ , RMSE% = 28.71, Bias% = 24.26) had more accuracy and less error. To select the best model, T- test was performed and the results showed that the neural network, of the competitive and supervisory type, had values similar to the actual values. This is due to Gaussian functions, which are not seen in MLP neural networks with sigmoid functions. Therefore, SSOM neural network can be a suitable alternative to multilayer perceptron neural network in estimating the density of trees in the northern forests of Iran.

**keywords:** Multi-layer perceptron, Number of trees per hectare, Self - organizing map, Supervised learning, Winning neuron.

